# FINAL DA AULA #11

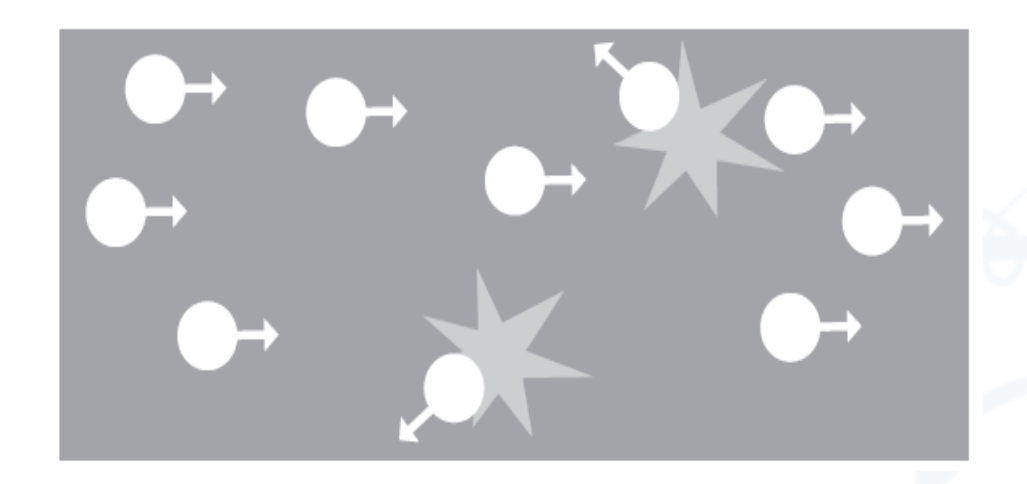


### RESISTÊNCIA ELÉTRICA

• Na presença de um campo elétrico  $\vec{E}$  os portadores de carga são acelerados por uma força  $\vec{F}=q\vec{E}$ .

$$\overrightarrow{F} = q\vec{E}$$

 Resistência elétrica ocorre devido a espalhamentos eletrônicos com impurezas e/ou irregularidades no material; quanto mais são espalhados maior a resistência



### MODELO

• Imediatamente depois de uma colisão, a direção e sentido da velocidade do portador é aleatória.

$$\left\langle \vec{v}_j^{\,dc} \right\rangle = 0$$

• Imediatamente antes de uma colisão o portador terá adquirido uma quantidade de movimento  $\Delta \vec{p} = q \vec{E} \Delta t$ 

$$m\vec{v}_j^{ac} - m\vec{v}_j^{dc} = q\vec{E}t_j$$

tempo entre colisões sucessivas

 $\Rightarrow$ 

$$m\langle \vec{v} \rangle = \frac{1}{N} \sum_{j} \vec{v}_{j} = qE\left(\frac{1}{N} \sum_{j} t_{j}\right)$$

velocidade média adquirida pelos portadores em função do campo aplicado

tempo médio entre colisões sucessivas

### **MODELO**

Sendo assim,

$$\langle \vec{v} \rangle = \frac{q\tau}{m} \vec{E}$$

velocidade média é proporcional ao campo aplicado

No entanto,

$$\vec{j} = nq \langle \vec{v} \rangle \qquad \Rightarrow \qquad \vec{j} = \left(\frac{nq^2\tau}{m}\right) \vec{E}$$

Mas,

$$\vec{j} = \sigma \vec{E} \quad \Rightarrow \quad \sigma = \frac{nq^2\tau}{m}$$

condutividade é proporcional ao tempo médio entre colisões

### **ESTIMATIVA**

$$q = -e$$

Nos metais, 
$$q=-e\;; \quad m=m_e$$

massa eletrônica

carga eletrônica

Medindo-se a resistividade 
$$ho=rac{1}{\sigma}=rac{m_e}{ne^2 au}$$
 podemos estimar  $au$ 

e o livre caminho médio  $\ell$  (espaço percorrido em média entre duas colisões)

$$\ell = v_F \tau$$

velocidade de Fermi

Cu (T~300K) 
$$\ell \approx 10^2 a_0$$

espaçamento atômico

### RESISTORES

Resistores em série:

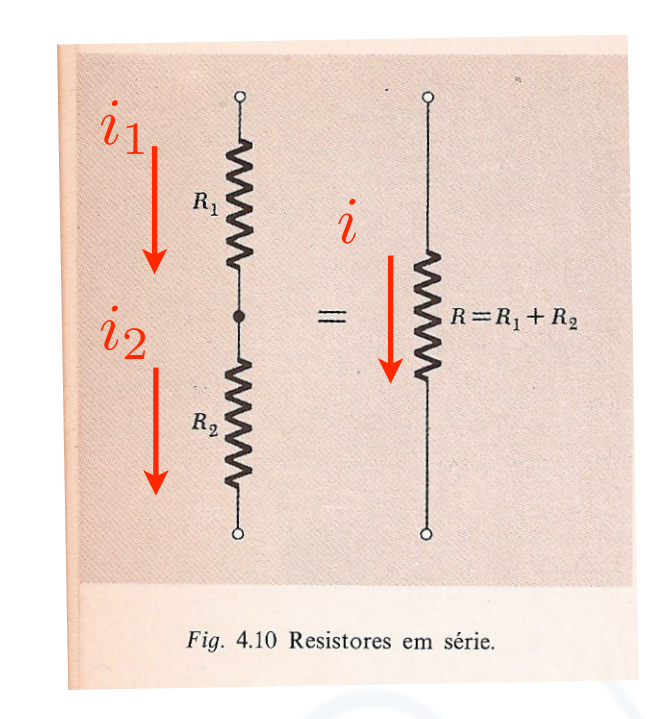
$$i_1 = i_2 = i$$
;  $V = V_1 + V_2 = iR_1 + iR_2 = i(R_1 + R_2)$   
 $V = R_{eq}i \implies R_{eq} = R_1 + R_2$ 

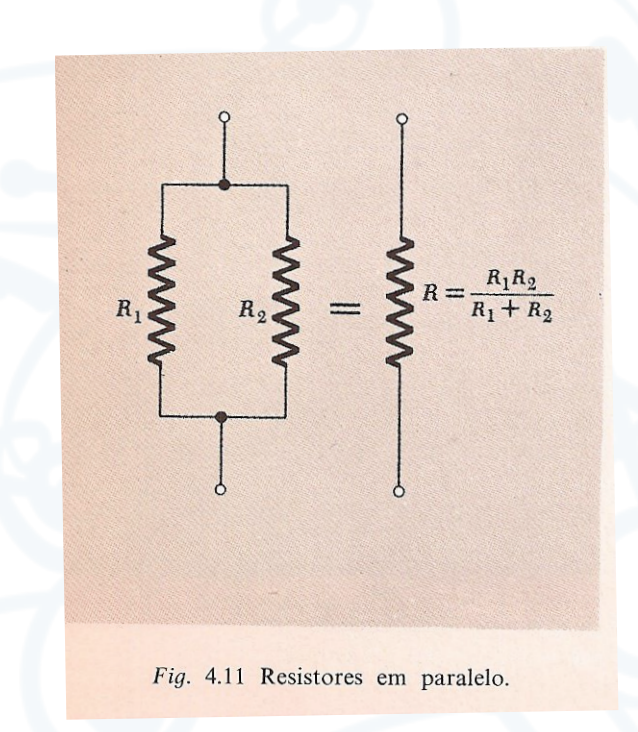
Resistores em paralelo:

$$V_1 = V_2 = V ; \quad i = i_1 + i_2 \implies$$

$$\frac{V}{R_{eq}} = \frac{V}{R_1} + \frac{V}{R_2} = V \left( \frac{1}{R_1} + \frac{1}{R_2} \right)$$

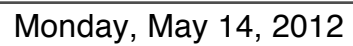
$$\Rightarrow \qquad \frac{1}{R_{eq}} = \frac{1}{R_1} + \frac{1}{R_2}$$



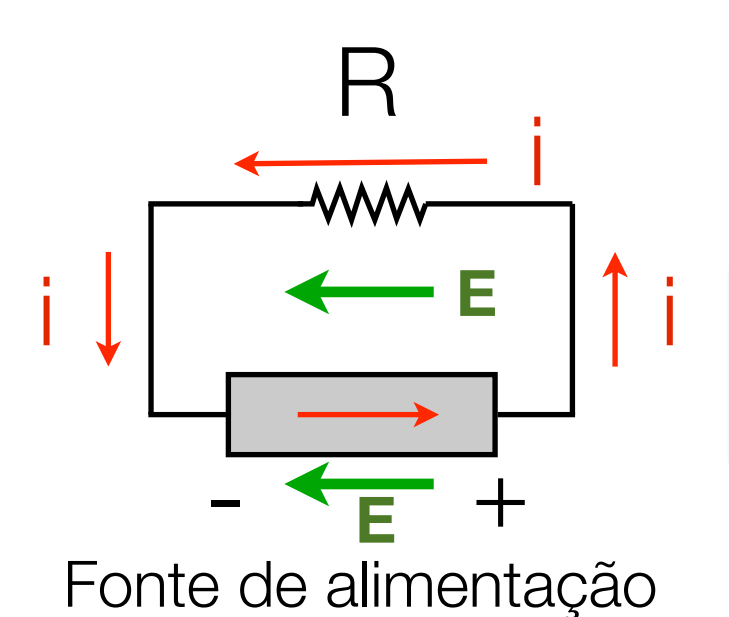


# F.E.M. & CIRCUITOS

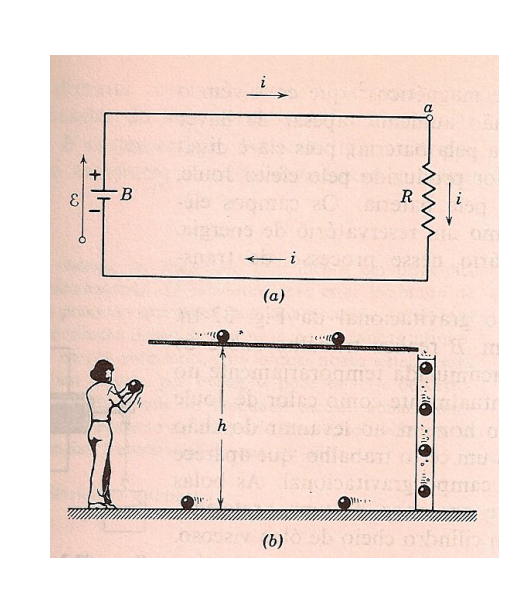
Aula # 12

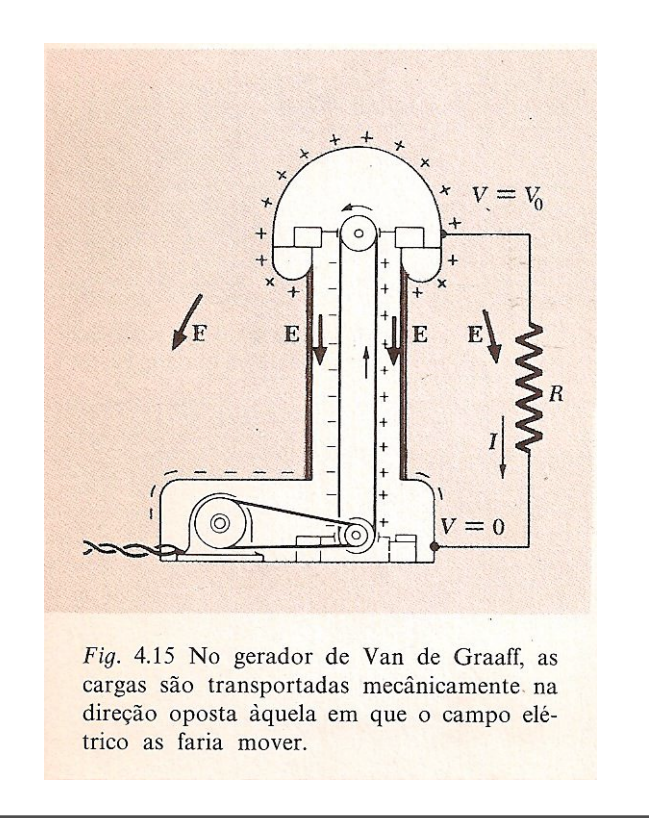


## FORÇA ELETROMOTRIZ



Note que dentro da fonte de alimentação a corrente flui na direção oposta ao campo



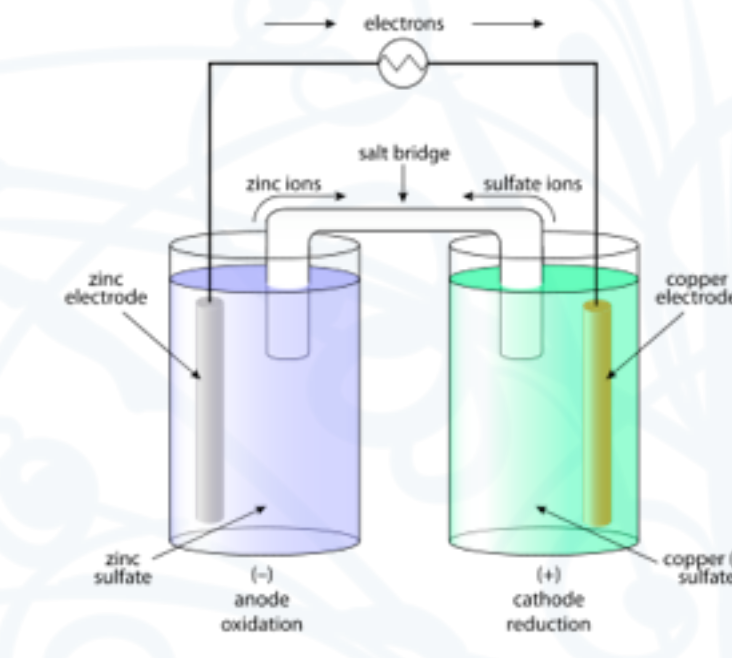




Painel Solar



Baterias



Daniell cell

## FORÇA ELETROMOTRIZ

### DEFINIÇÃO

# Força eletromotriz: f.e.m.

$$\varepsilon = dW/dq$$

$$\varepsilon = -\int_2^1 \vec{E} \cdot d\vec{l} = V_1 - V_2$$

d.d.p. entre os pontos 1 e 2 em um circuito aberto

A d.d.p. entre os terminais de uma pilha de 1.5 V - medida diretamente com o voltímetro - é 1.5V

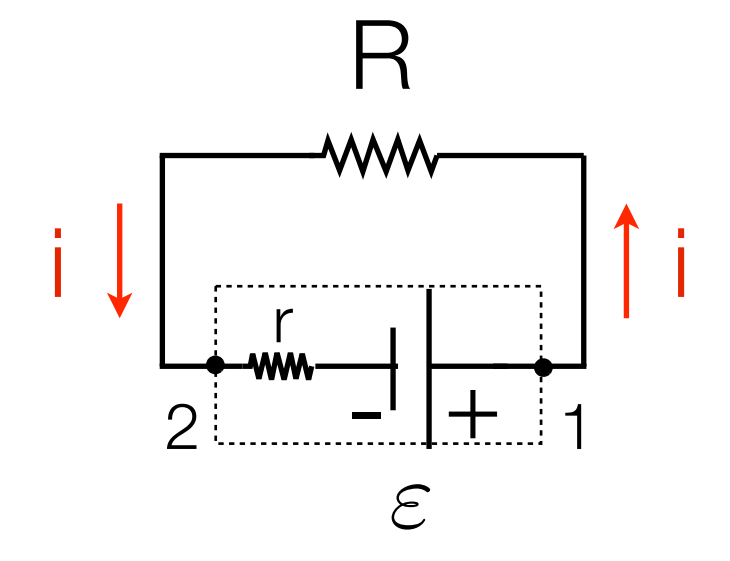
Símbolo:

$$\begin{array}{c|c} \varepsilon \\ 2 & \downarrow 1 \\ \bullet & \downarrow + \end{array}$$

Fonte de alimentação

## FORÇA ELETROMOTRIZ

#### CIRCUITO



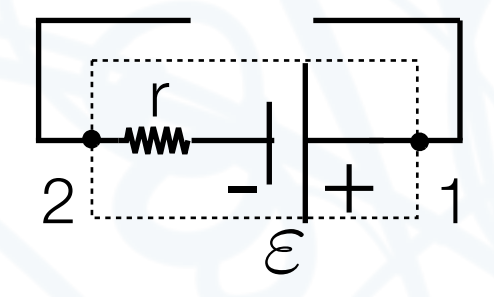
r - resistência interna da fonte de alimentação

$$i = \frac{\varepsilon}{R + r}$$

$$V = V_1 - V_2 = Ri = \frac{R}{R + r} \varepsilon < \varepsilon$$

$$\lim_{R\to\infty}$$

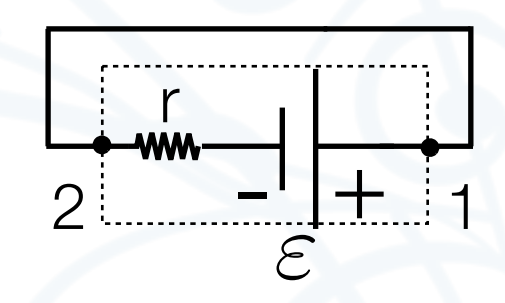
(circuito aberto) i o 0 & V o arepsilon



$$\lim_{R\to 0}$$

(curto circuito)

 $i \to i_{max} = \frac{\varepsilon}{r} \& V \to 0$ 



## REGRAS DE KIRSHHOFF

### CIRCUITO COM 1 MALHA

1. A soma de todas as variações de potencial ao longo de um circuito fechado é nula (  $\oint \vec{E} \cdot d\vec{l} = 0$  )

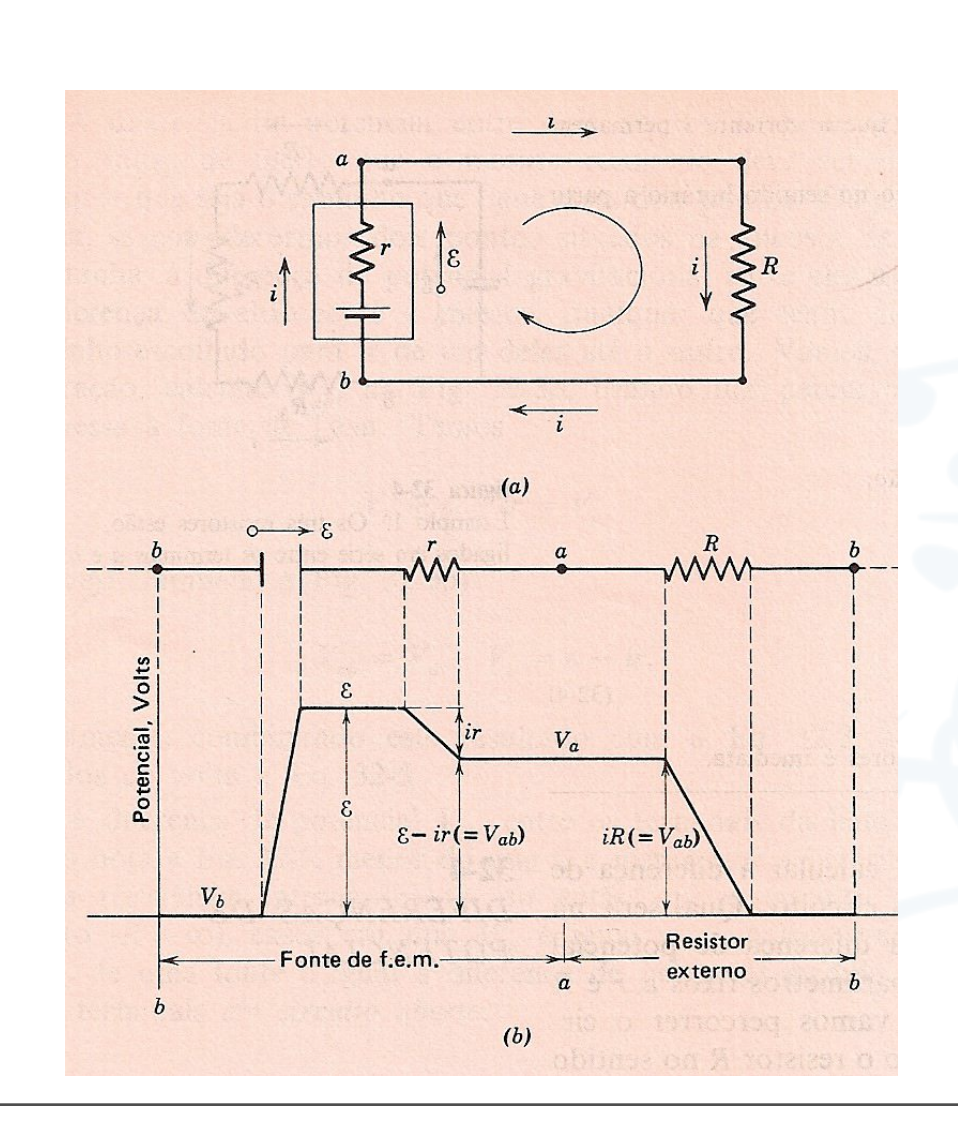
Escolhemos o sentido da corrente e o do percurso da malha

 Através de um resistor ôhmico percorrido no sentido da corrente há uma queda de potencial

$$\Delta V = Ri$$

• Através de fonte de f.e.m. percorrida no sentido da corrente há um **ganho** de potencial

$$\Delta V = \varepsilon$$



### REGRAS DE KIRSHHOFF

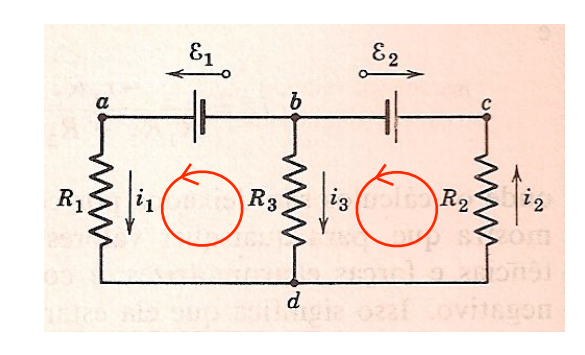
### CIRCUITO COM MAIS DE 1 MALHA

2. Em um nó, a soma algébrica de todas as correntes deve ser nula (conservação de carga)

Escolhemos os sentidos das correntes e dos percursos das malhas

• No nó b ou d temos:

$$i_1 + i_3 - i_2 = 0 (1)$$



• Malha abd:

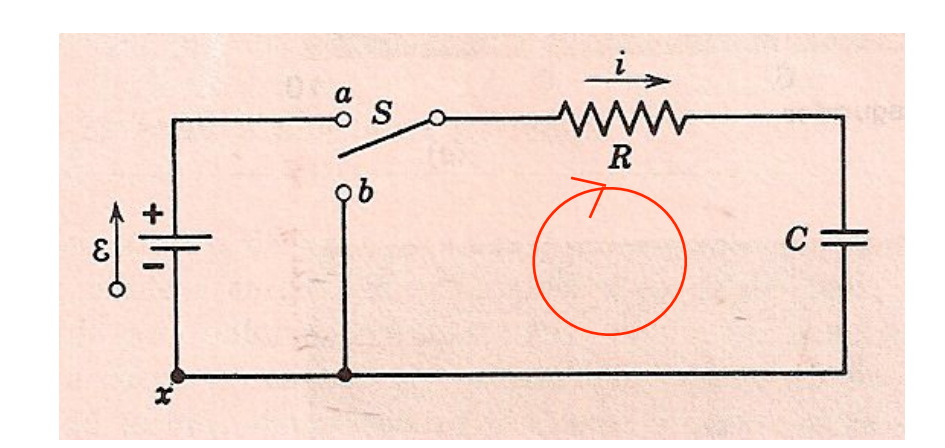
$$\varepsilon_1 - i_1 R_1 + i_3 R_3 = 0$$
 (2)

• Malha bcd:

$$-\varepsilon_2 - i_3 R_3 - i_2 R_2 = 0 \tag{3}$$

Esse sistema com três equações lineares e três incógnitas permite determinar, por exemplo, as três correntes.

#### ARREGANDO O CAPACITOR



Chave S conectada na posição (a)

Condições iniciais:

Em 
$$t = 0$$
  $q(t = 0) = q_0 = 0$ 

Lei das malhas: 
$$\varepsilon - Ri - \frac{q}{C} = 0$$
 Eq. (1)

q. (1) 
$$q=q(t) \qquad i=\frac{dq}{dt}$$

Decorre que: 
$$i(t=0) = i_0 = \frac{\varepsilon}{R}$$

Derivando a equação (1) em relação ao tempo :  $R\frac{di}{dt} = -\frac{i}{C} \implies \frac{di}{i} = -\frac{dt}{RC}$ 

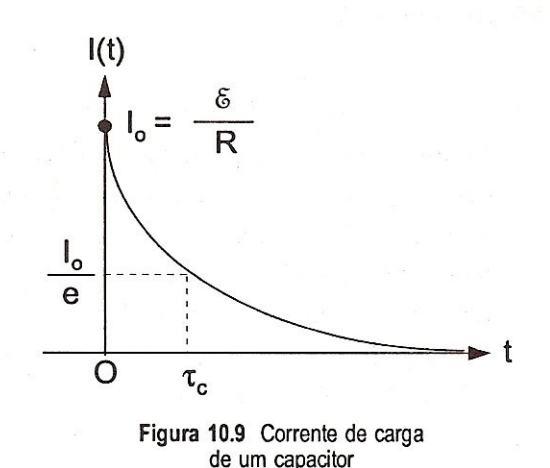
$$R\frac{di}{dt} = -\frac{i}{C} \implies \frac{di}{i} = -\frac{dt}{RC}$$

Definindo 
$$au = RC$$
  $frac{di}{i} = -\frac{dt}{\tau} \Rightarrow \int_{i_0}^i \frac{di}{i} = -\int_0^t \frac{dt'}{\tau} \Rightarrow ln\left(\frac{i}{i_0}\right) = -\frac{t}{\tau}$ 

$$\Rightarrow \qquad i(t) = i_0 e^{-t/\tau} \qquad \text{quando} \qquad t = \tau \qquad i(\tau) = \frac{i_0}{e} \approx \frac{i_0}{3}$$

au = RC tempo caracterísitco

#### CARREGANDO O CAPACITOR



Carga no capacitor:

$$i = \frac{dq}{dt} \Rightarrow dq = idt \Rightarrow q(t) = \int_0^t i(t') dt'$$
$$i(t') = i_0 e^{-t'/\tau} \Rightarrow q(t) = -i_0 \tau e^{-t/\tau} \Big|_0^t$$

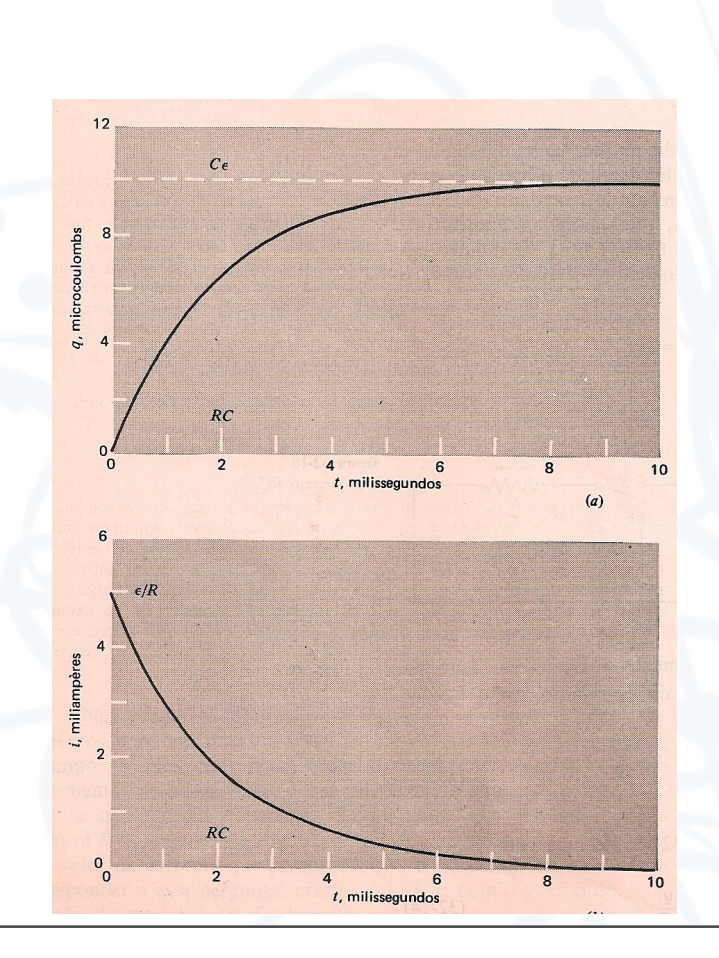
$$\Rightarrow q(t) = \varepsilon C \left(1 - e^{-t/\tau}\right)$$

$$q(t=0) = 0$$

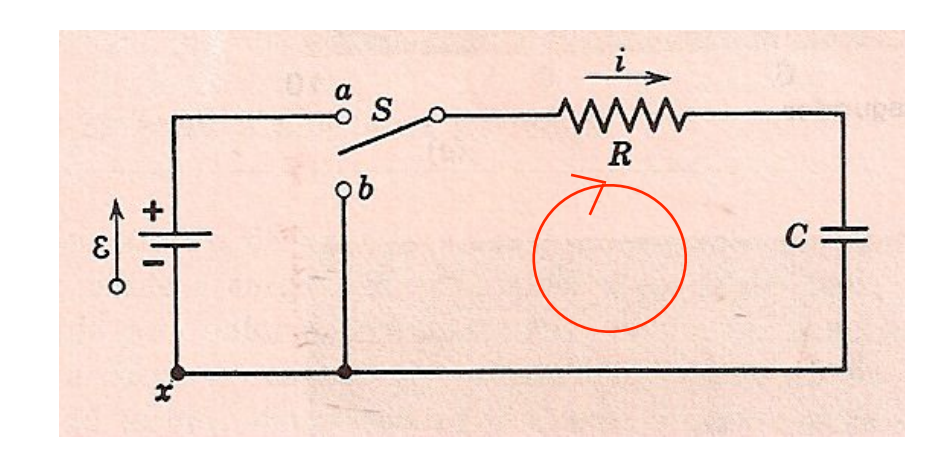
$$i(t=0) = \frac{\varepsilon}{R}$$

$$\lim_{t \to \infty} q(t) = \varepsilon C$$

$$\lim_{t \to \infty} i(t) = 0$$



#### ESCARREGANDO O CAPACITOR



Chave S conectada na posição (b)

Condições iniciais:

Em 
$$t=0$$
  $q(t=0)=q_0=C\varepsilon$ 

Lei das malhas: 
$$-Ri - \frac{q}{C} = 0$$
 Eq. (2)

$$q = q(t) i = \frac{dq}{dt}$$

Decorre que: 
$$i(t=0) = i_0 = \frac{q_0}{RC} = -\frac{\varepsilon}{R}$$

Da equação (2): 
$$R\frac{dq}{dt} = -\frac{q}{C} \quad \Rightarrow \quad \frac{dq}{q} = -\frac{dt}{RC}$$

Definindo 
$$\tau = RC$$
  $\frac{dq}{q} = -\frac{dt}{\tau} \Rightarrow \int_{q_0}^q \frac{dq}{q} = -\int_0^t \frac{dt'}{\tau} \Rightarrow ln\left(\frac{q}{q_0}\right) = -\frac{t}{\tau}$ 

$$\Rightarrow ln\left(\frac{q}{q_0}\right) = -\frac{t}{\tau}$$

$$\Rightarrow$$
  $q(t) = q_0 e^{-t}$ 

$$\Rightarrow \qquad q(t) = q_0 \, e^{-t/\tau} \qquad \text{quando} \qquad \qquad t = \tau \qquad q(t) = \frac{q_0}{e} \approx \frac{q_0}{3}$$

au = RC tempo caracterísitco

#### DESCARREGANDO O CAPACITOR

Corrente no circuito:  $i(t) = \frac{dq}{dt}$ 

$$i(t) = \frac{dq}{dt}$$

$$q(t) = q_0 e^{-t/\tau}$$

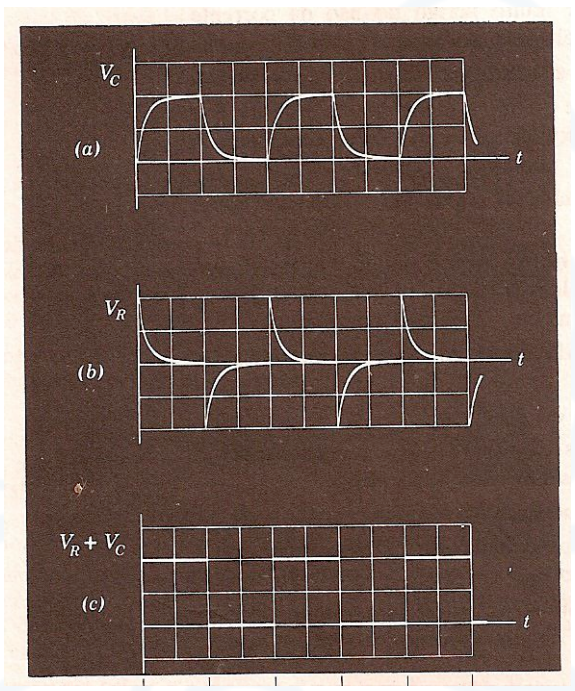
$$\Rightarrow i(t) = -\frac{q_0}{\tau} e^{-t/\tau}$$

Sinal negativo indica apenas que a corrente tem sentido oposto ao escolhido na figura

$$q(t=0) = q_0 \qquad \lim_{t \to \infty} q(t) = 0$$

$$i(t=0) = i_0 = -\frac{q_0}{\tau}$$
  $\lim_{t \to \infty} i(t) = 0$ 

#### Carga e descarga



# CAMPO MAGNÉTICO

Aulas # 13/14

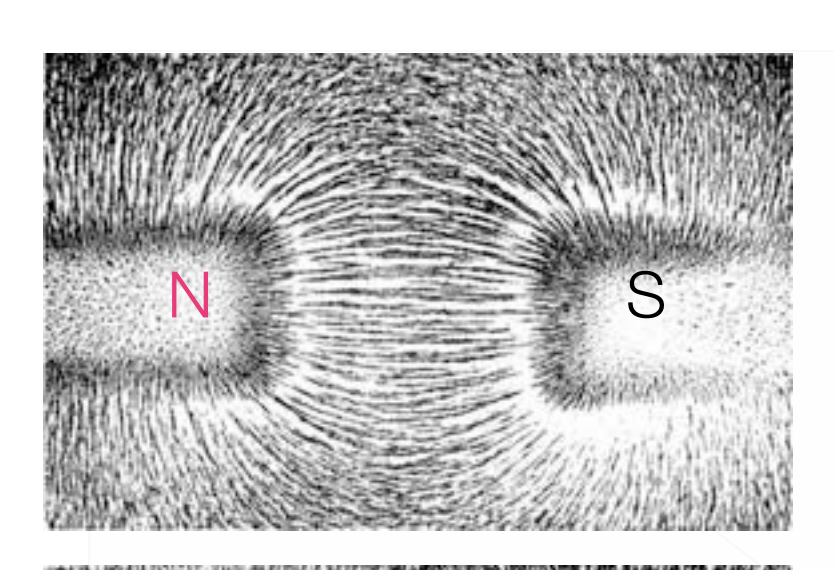
## IMÃ E CAMPO MAGNÉTICO

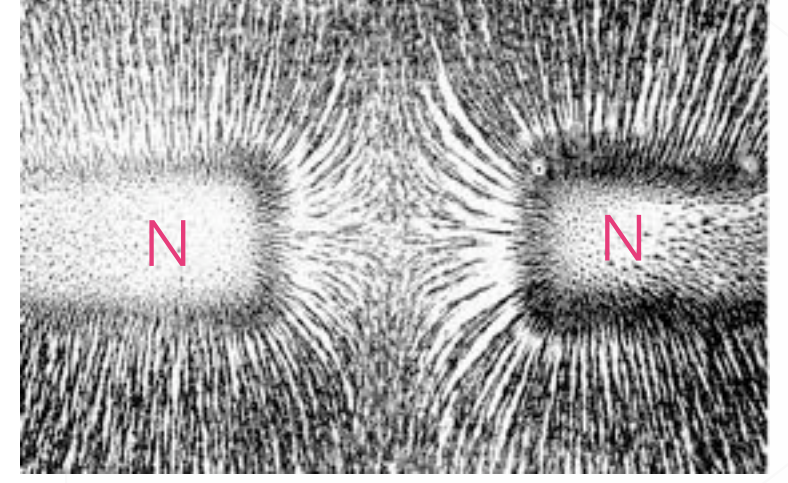


### Magnetita

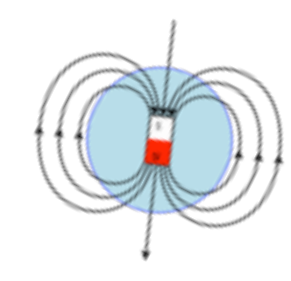
Proveniente de alguns lugares é um ímã natural, capaz de atrair partículas de Fe. Trata-se de um óxido de ferro Fe<sub>3</sub>O<sub>4</sub>

Imã Partido em 2: 2 ímãs

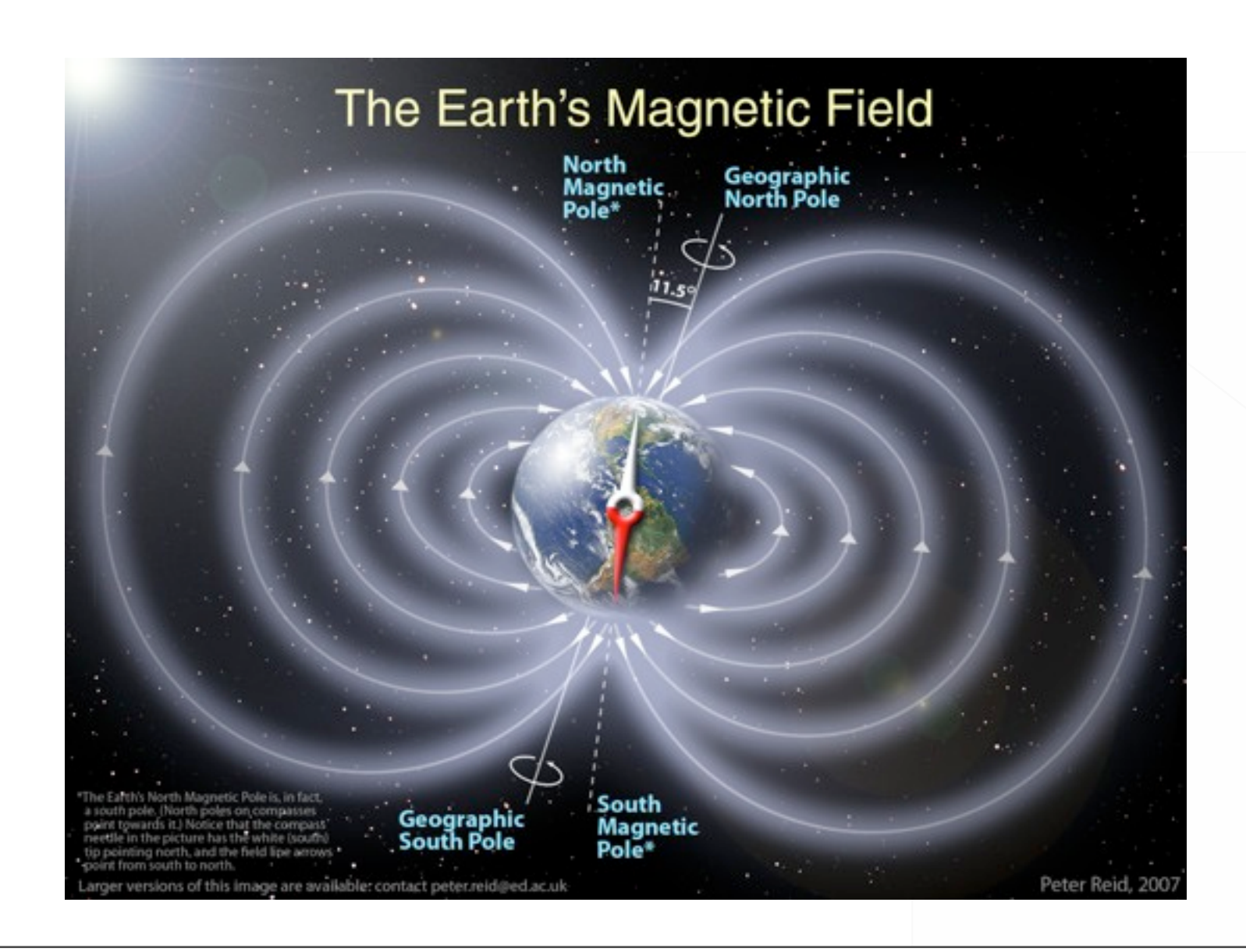




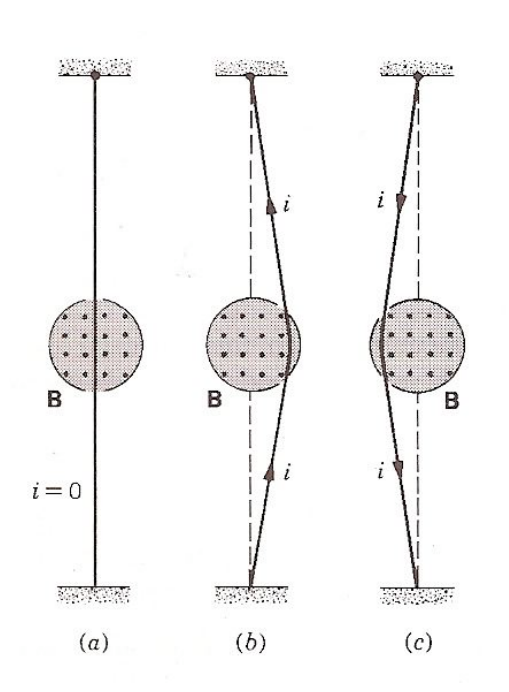
## A TERRA É UM IMÃ



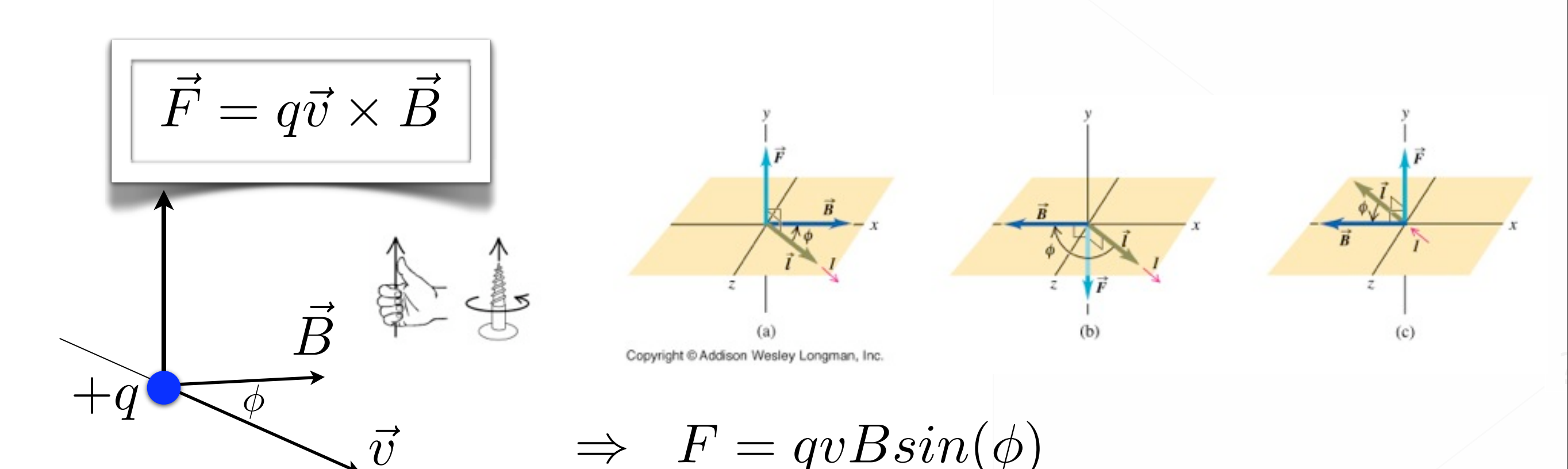
- Os polos magnéticos não coincidem com os polos geográficos.



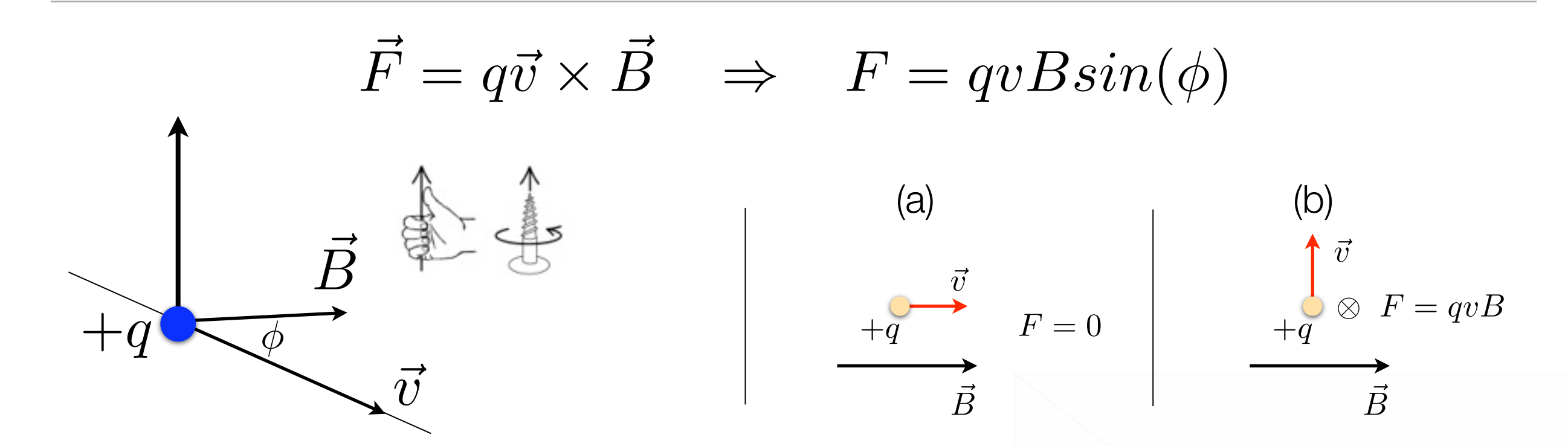
## FORÇA SOBRE CARGAS EM MOVIMENTO



- A força depende do sentido e da intensidade da corrente, ou seja, da carga e da velocidade dos portadores.
- A força depende do sentido e da intensidade do campo



## FORÇA SOBRE CARGAS EM MOVIMENTO



A força magnética sobre cargas em movimento, sendo perpendicular à velocidade, não trabalha.

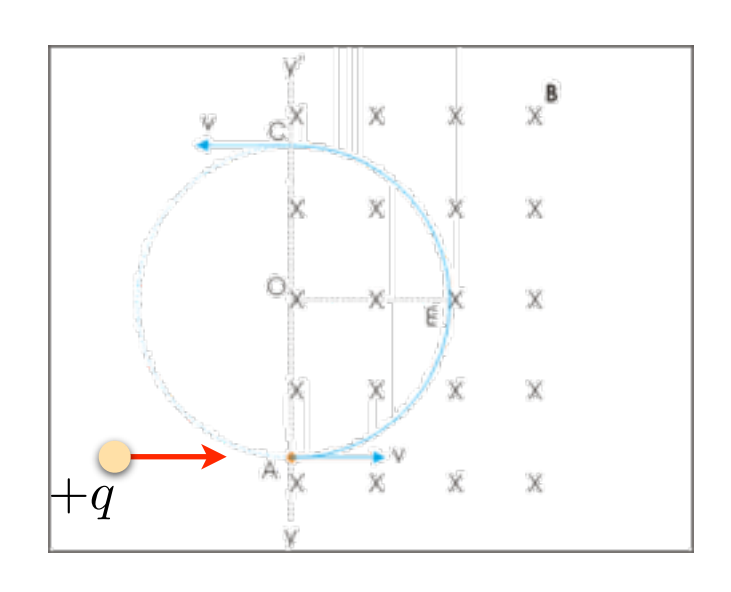
$$\begin{split} dW &= \vec{F} \cdot d\vec{\ell} & \vec{v} = \frac{d\vec{\ell}}{dt} \implies d\vec{\ell} = \vec{v}dt \\ \vec{F} \perp \vec{v} &\Rightarrow \vec{F} \perp d\vec{\ell} \implies dW = 0 \end{split}$$

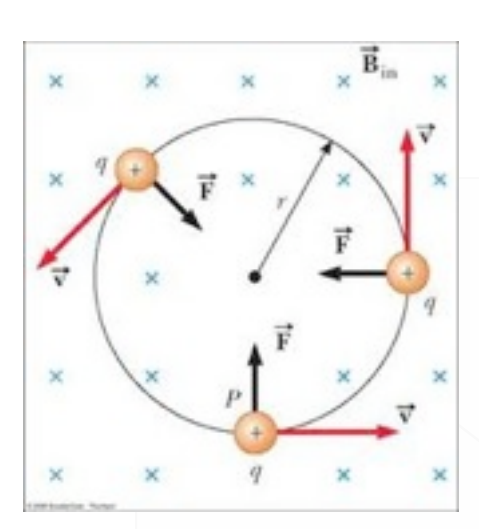
Unidades: (SI) 1Tesla = 1 N/(C m/s);  $1 \text{ T} = 10^4 \text{ Gauss}$ 

## FORÇA SOBRE CARGAS EM MOVIMENTO

Consequentemente: 
$$\Delta E_c = 0 \; \Rightarrow \; |\vec{v}| \;$$
 constante, ou seja, a força magnética

pode apenas alterar a direção da velocidade da partícula carregada.





$$F=qvB=rac{mv^2}{R} \quad \Rightarrow \quad R=rac{mv}{qB} \quad ext{O que acontece se a carga for negativa?}$$

Raio da órbita depende do momento da partícula, da sua carga e do valor do campo B

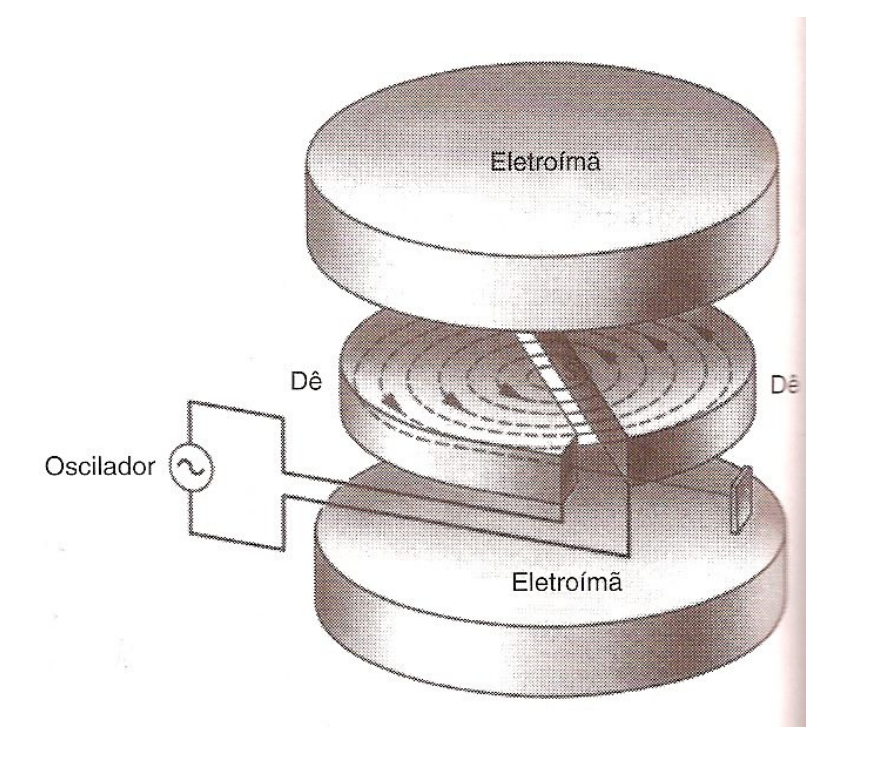
### FREQUÊNCIA DE CICLOTRON

#### ACELERADOR CICLOTRON

$$\omega = \frac{v}{R} \quad \Rightarrow \quad \nu = \frac{\omega}{2\pi} = \frac{|q|B}{2\pi m}$$

Frequência de cíclotron

Para  $v \ll c$ , a frequência  $\nu$  não depende de  $v \Rightarrow$  elétrons lançados com velocidades menor, levam o mesmo tempo para percorrer sua trajetória circular de raio menor.



$$R = \frac{mv}{|q|B} \quad \Rightarrow \quad v = \frac{|q|BR}{m}$$

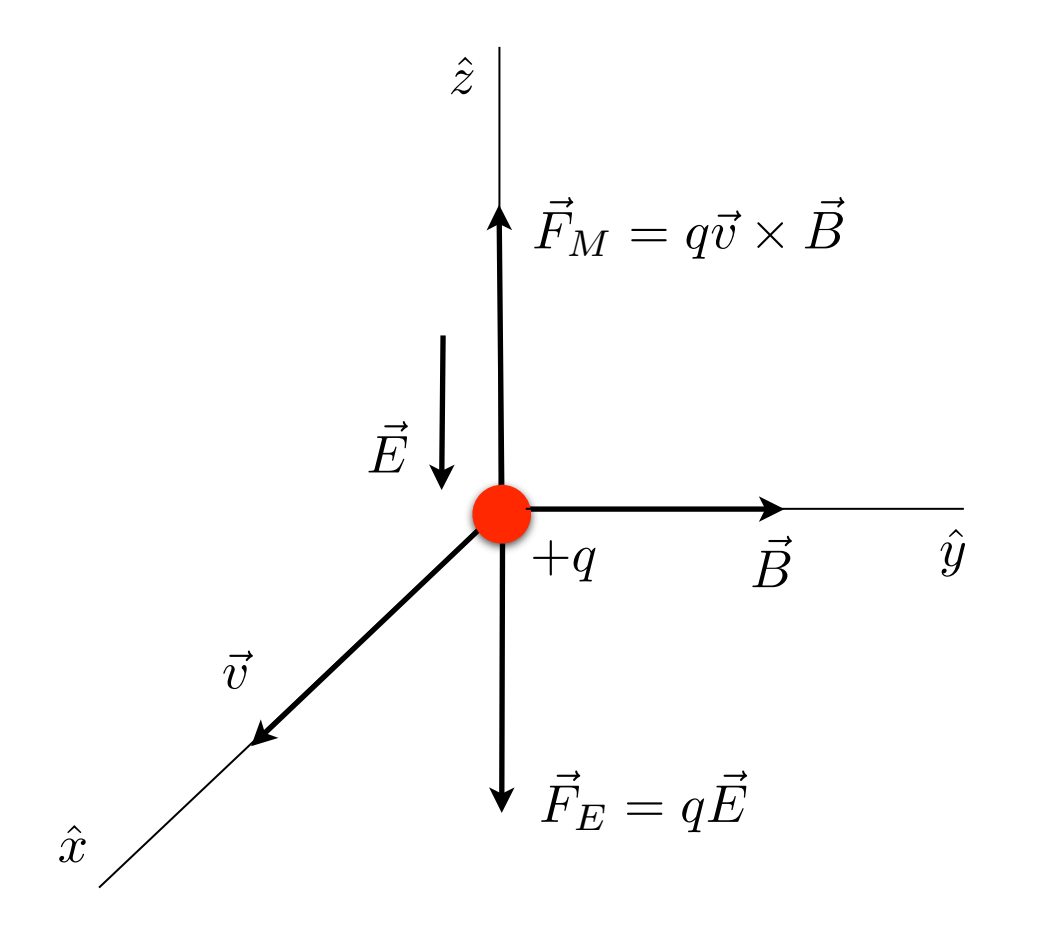
$$E_c = \frac{p^2}{2m} = \frac{q^2 B^2 R^2}{2m}$$
 maior  $E_c$  maior  $R$ 

prótons acelerados até ~10MeV

 ${f eta}$  Na presença de um campo elétrico  $ec{E}$  e de um campo magnético  $ec{B}$ 

$$\vec{F} = q\vec{E} + q\vec{v} \times \vec{B}$$

Suponha que  $\vec{E}, \vec{B}$  e  $\vec{v}$  são perpendiculares entre si (como ilustrado).

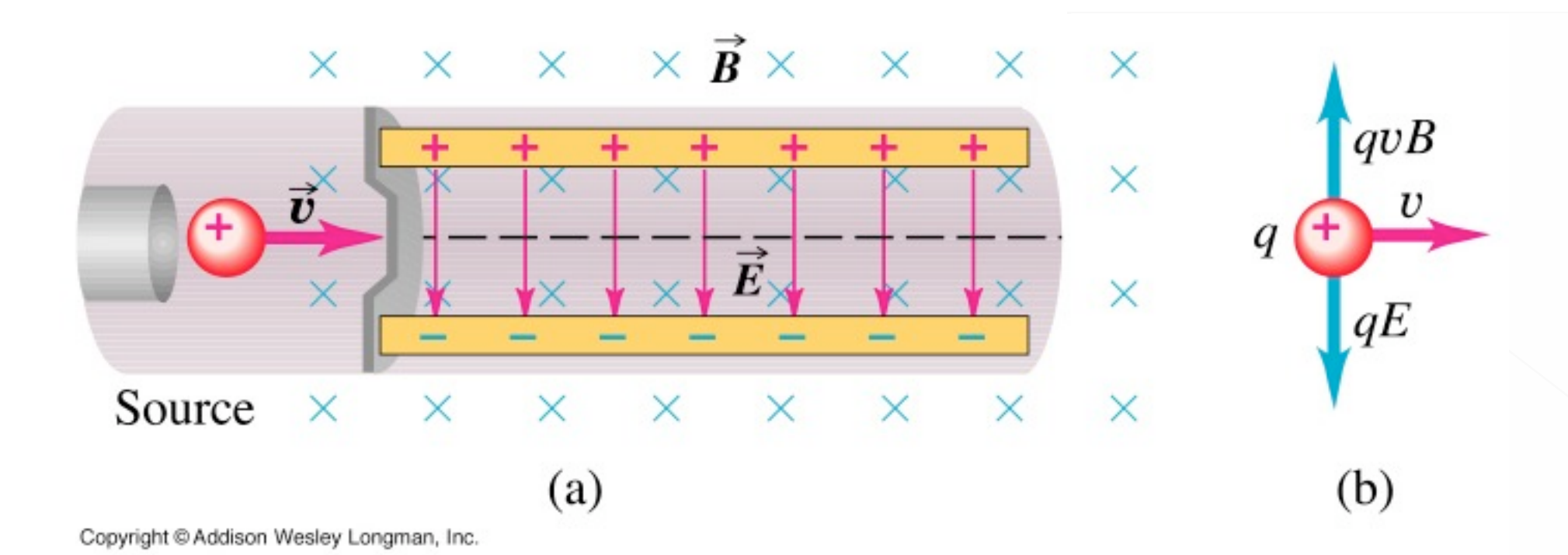


Nesse caso podemos ajustar  $E \ e \ B$  de tal forma que  $\vec{F}=0$  . Dessa forma:

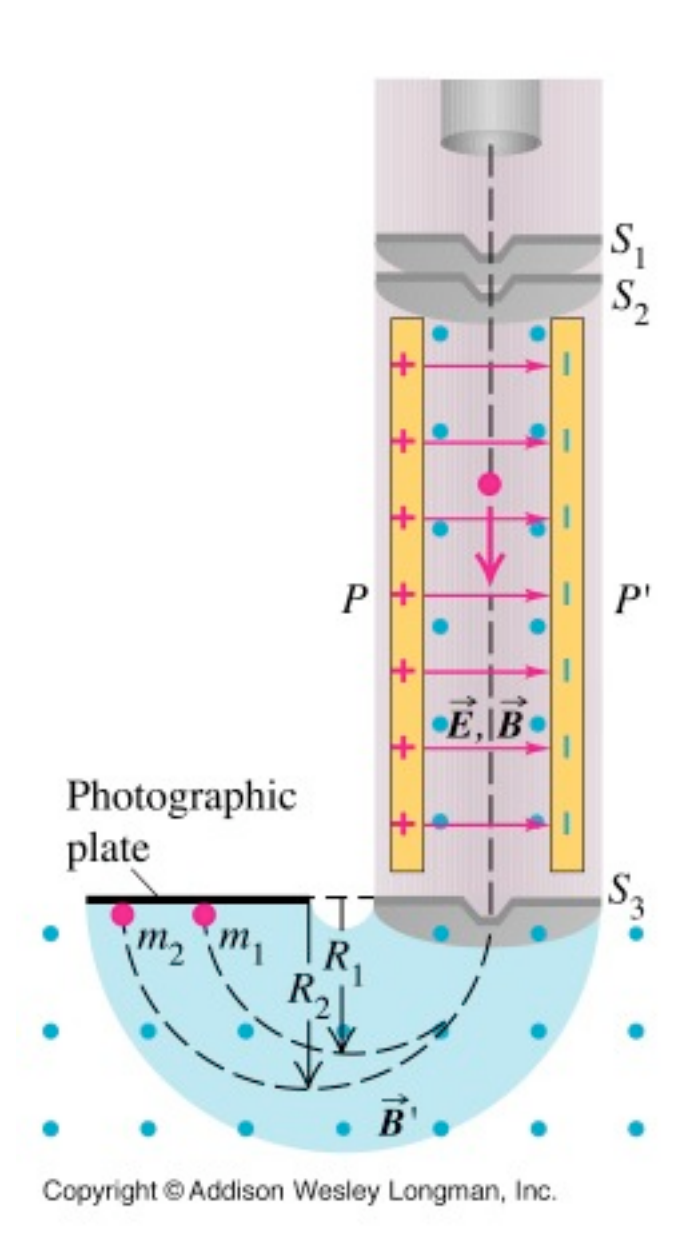
$$qE = qvB \quad \Rightarrow \boxed{v = \frac{E}{B}}$$

#### SELETOR DE VELOCIDADES

As partículas com essa velocidade não são defletidas nessa região. Podemos usar isso para como um dispositivo seletor de velocidade.



#### ESPECTRÔMETRO DE MASSA



Podemos combinar os dois resultados para construir um espectrômetro de massa. As partículas carregadas selecionadas com velocidades conhecidas

$$v = \frac{E}{B}$$

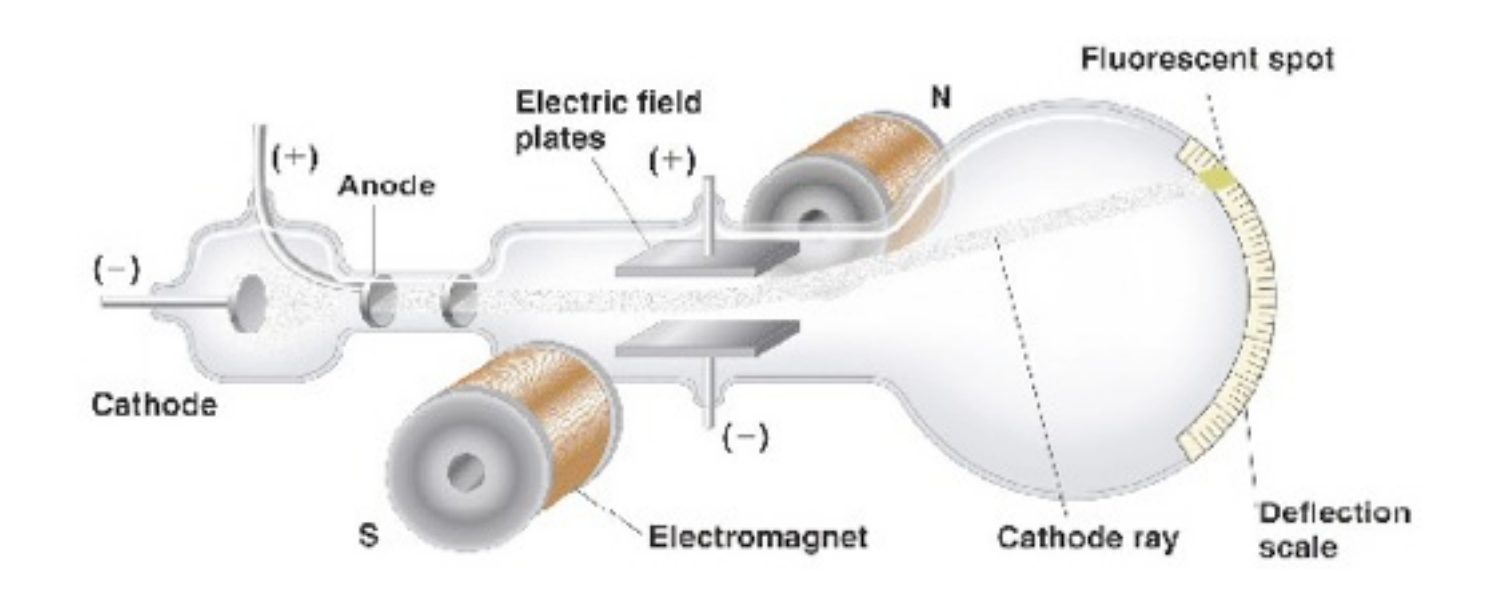
são injetadas em uma região com B apenas. Elas descrevem órbitas circulares de raio

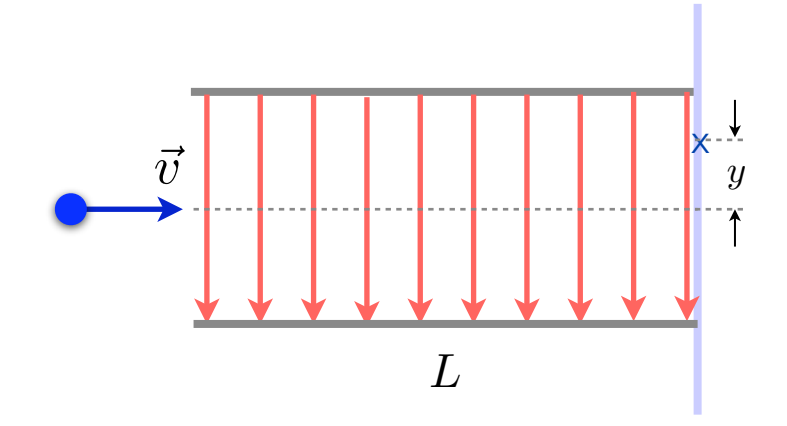
$$R = \frac{mv}{qB}$$

$$\Rightarrow R = \frac{mE}{qB^2}$$

$$\Rightarrow \frac{q}{m} = \frac{E}{RB^2}$$

### RAZÃO CARGA MASSA - J. J. THOMSON





$$y = \frac{1}{2} \left( \frac{eE}{m} \right) t^2$$

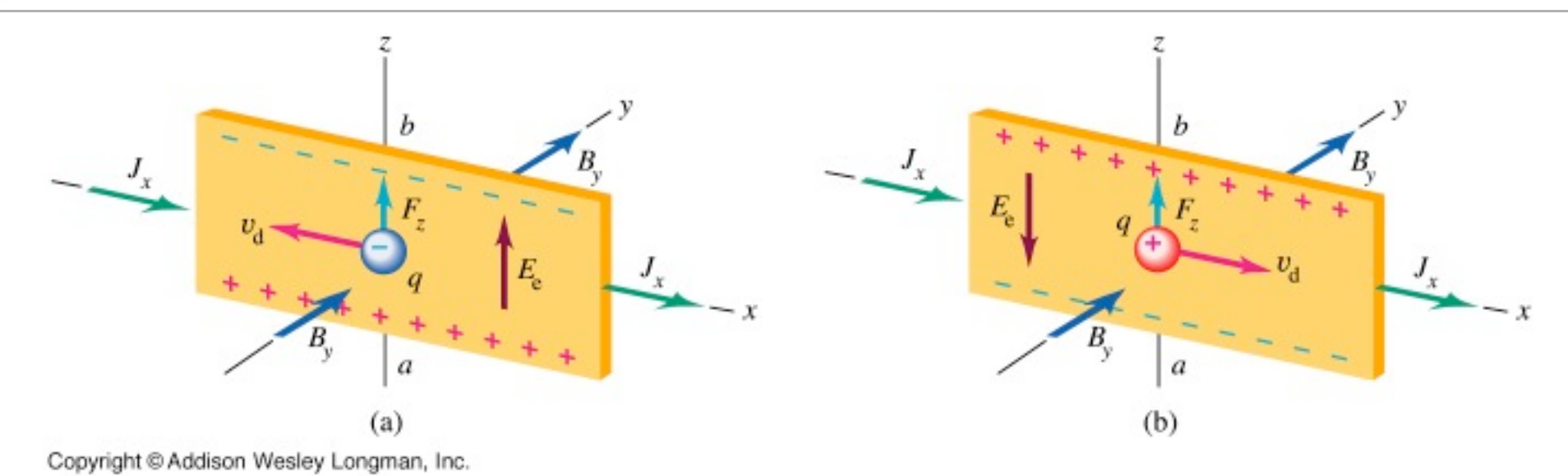
Sem campo magnético: 
$$y=\frac{1}{2}\left(\frac{eE}{m}\right)t^2$$
  $t=\frac{L}{v} \Rightarrow y=\frac{eEL^2}{2mv^2}$ 

Campo magnético é ajustado de modo a que o feixe não seja defletido:

$$v = \frac{E}{B}$$
  $\Rightarrow$   $\left[\frac{e}{m} = \frac{2Ey}{B^2L^2}\right]$   $\approx 1.7 \times 10^{11} \ C/kg$ 

### EFEITO HALL

### CLÁSSICO



A força magnética cria uma d.d.p. transversa  $V_{ab}$ , cuja polaridade (sinal) depende da carga dos portadores de corrente.  $V_{ab}$  se estabiliza quando

$$q\vec{E} = q\vec{v} \times \vec{B} \quad \Rightarrow \quad E = vB$$

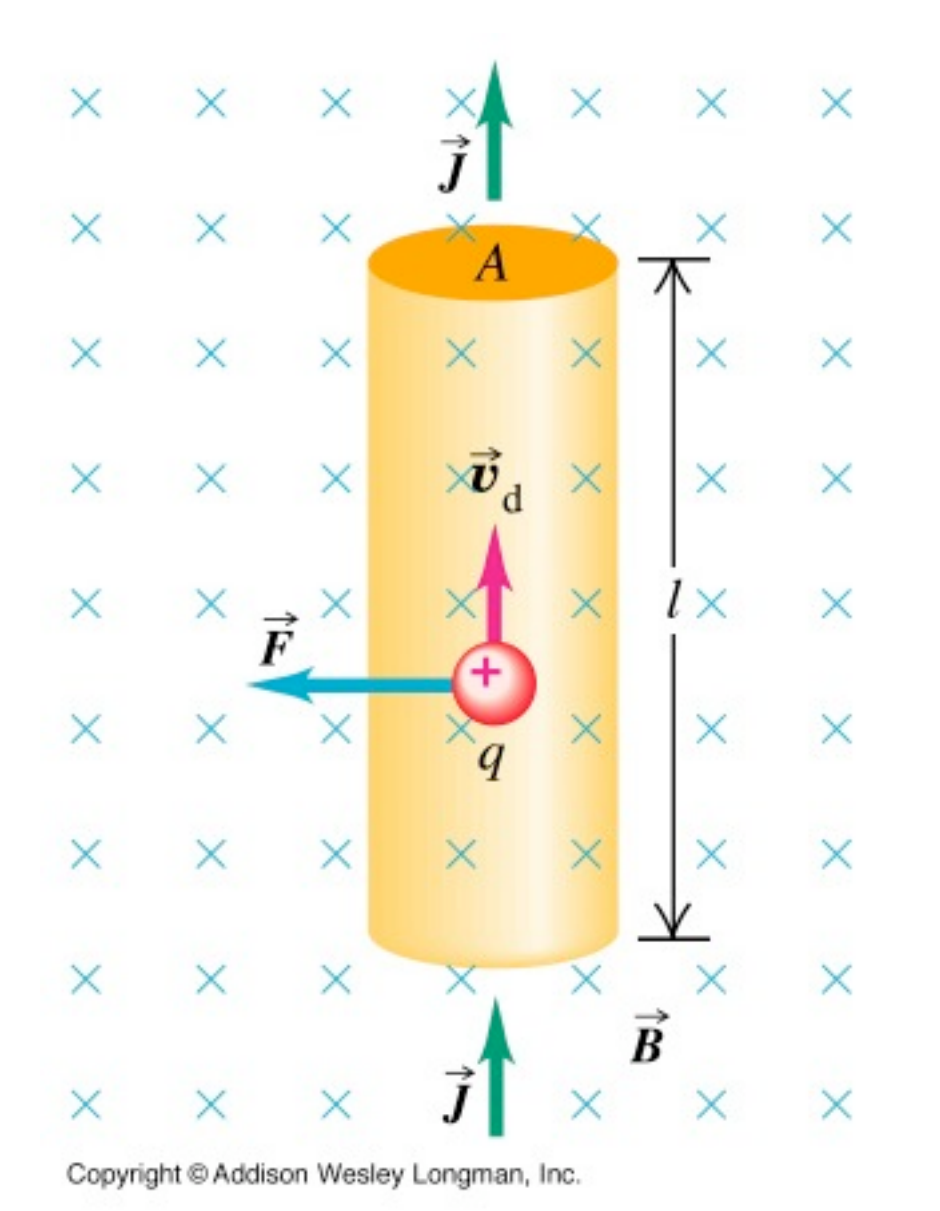
Considerando que a largura da tira é L e que sua espessura é  $\epsilon$  , temos que

$$E = \frac{V}{L}; \quad v = \frac{j}{ne}; \quad j = \frac{i}{A} = \frac{i}{\epsilon L} \qquad \Rightarrow \boxed{n = \frac{iB}{e\epsilon V}}$$

Medindo V obtemos o sinal da carga e a densidade de portadores n

# FORÇA MAGNÉTICA SOBRE UM CONDUTOR

#### PERCORRIDO POR UMA CORRENTE ELÉTRICA



A força magnética cria uma d.d.p. transversa Vab, cuja polaridade (sinal) depende da carga dos portadores de

$$ec{F}=Nq imesec{B}$$
 velocidade média dos portadores  $N=nA\ell$ ;  $ec{j}=nq$   $\Rightarrow$   $ec{F}=nA\ell q\left(rac{ec{j}}{nq}
ight) imesec{B}=\ell Aec{j} imesec{B}$ 

Escrevendo  $\vec{j}=j\hat{j}$  , i=jA e definindo  $\vec{\ell}=\ell\hat{j}$  obtemos:

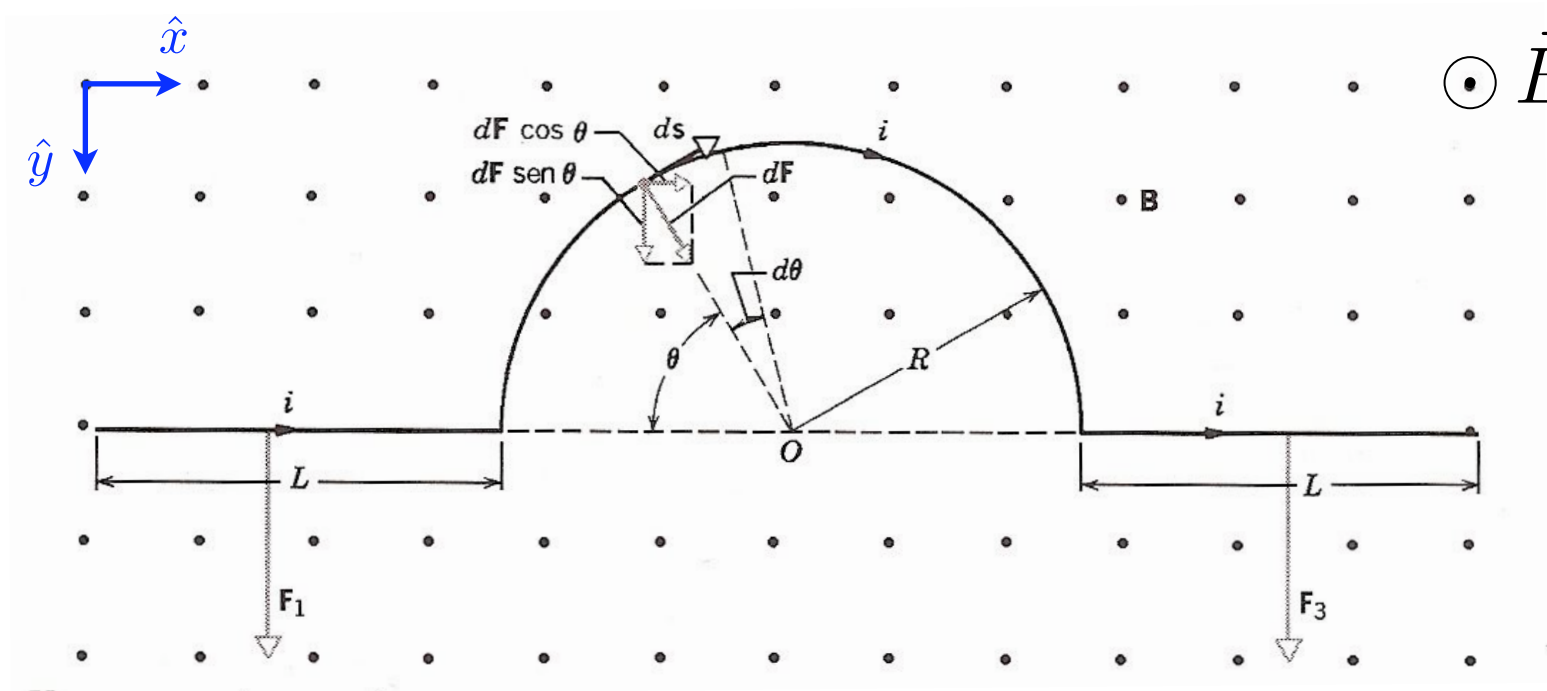
$$ec{F}=iec{\ell} imesec{B}$$
 ou, infinitesimalmente,  $dec{F}=idec{\ell} imesec{B}$ 

$$d\vec{F} = id\vec{\ell} \times \vec{B}$$

 $d\ell$  ao longo do condutor e na direção e sentido de  $\hat{j}$ 

# FORÇA MAGNÉTICA SOBRE UM CONDUTOR

#### PERCORRIDO POR UMA CORRENTE ELÉTRICA



$$F_1 = F_3 = iLB$$

$$dF_2^x = dFcos(\theta)$$

$$dF_2^y = dFsin(\theta)$$

$$F_2^x = \int_0^\pi dF_2^x = 0$$
 Consequentemente,

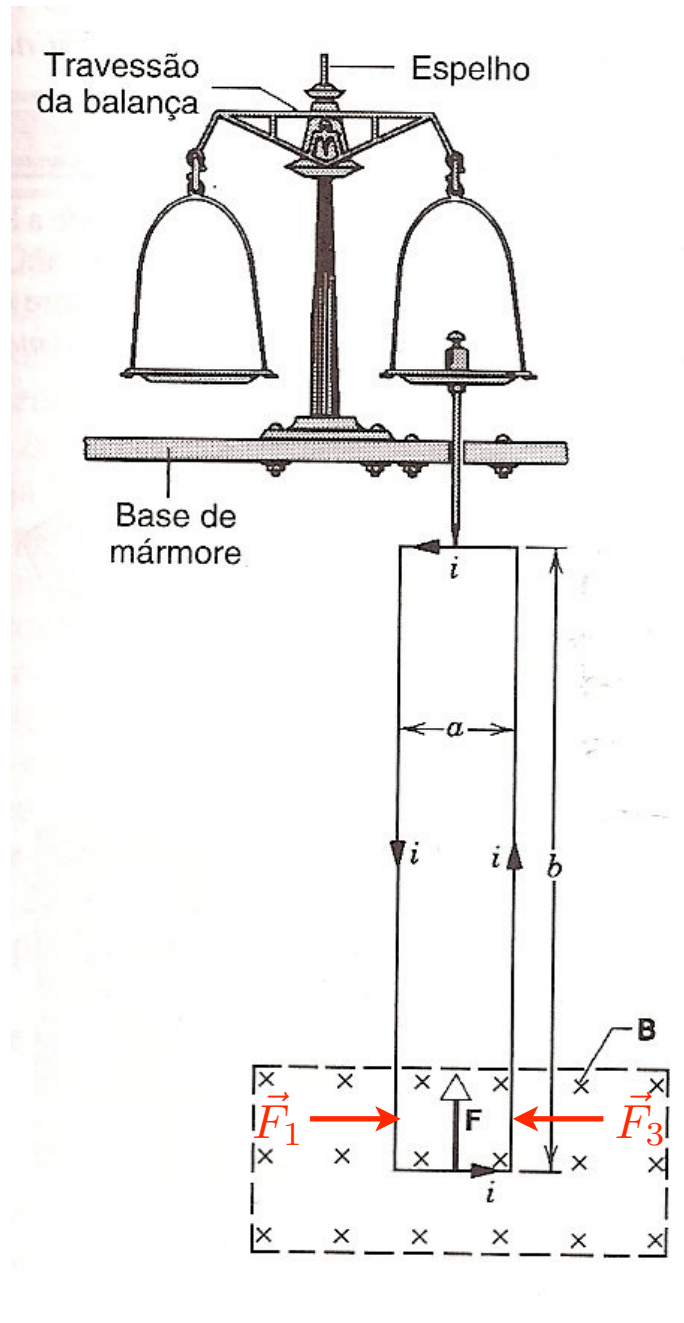
$$F_2^y = \int_0^\pi dF_2^y = \int_0^\pi dF sin(\theta) = \int_0^\pi id\ell B sin(\theta) = \int_0^\pi iR d\theta B sin(\theta) \Rightarrow$$

$$F_2^y = iRB \int_0^{\pi} d\theta sin(\theta) = 2iRB$$
 Consequentemente,

$$F = F_y = F_1 + F_2^y + F_3 = 2iLB + 2iBR = 2iB(L+R)$$

# FORÇA MAGNÉTICA SOBRE UM CONDUTOR

### PERCORRIDO POR UMA CORRENTE ELÉTRICA



$$\hat{y} \stackrel{\hat{y}}{\longrightarrow} \hat{x}$$

$$\vec{F}_1 = -\vec{F}_3$$

$$\vec{F} = i\vec{\ell} \times \vec{B} \quad \Rightarrow \quad F = iaB$$

A bobina é composta por 9 fios, consequentemente,

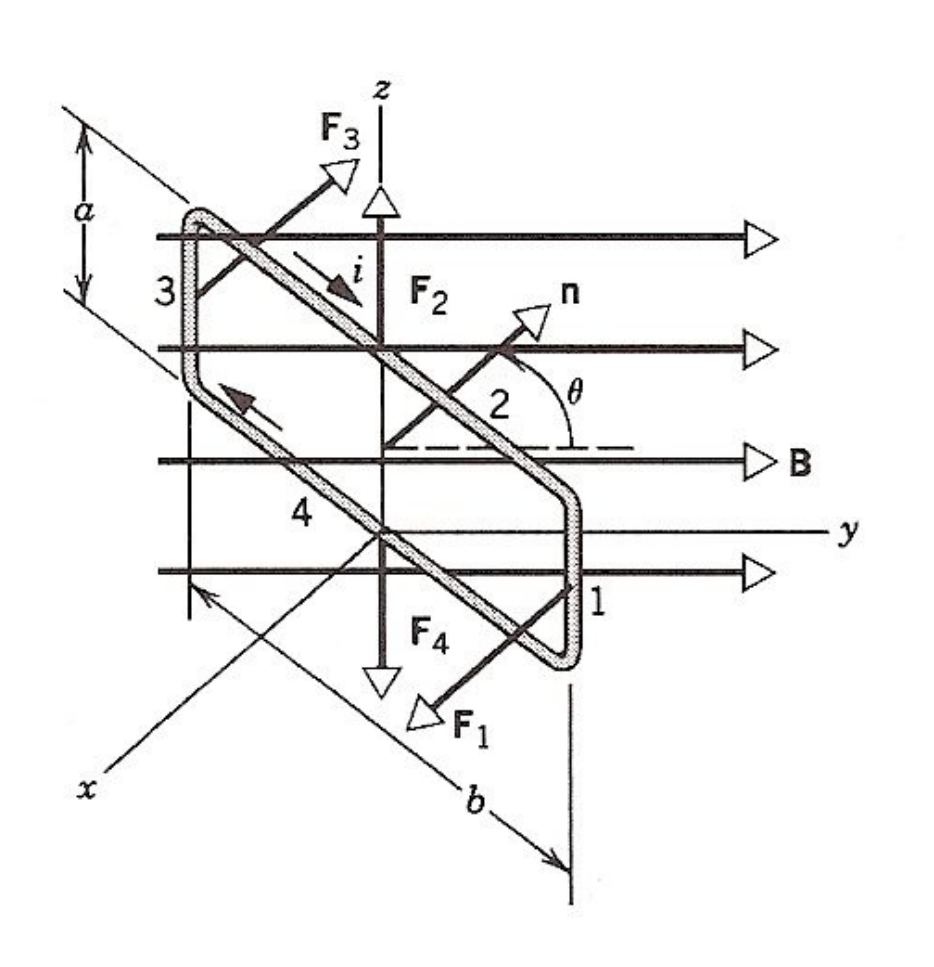
$$\vec{F} = 9iaB\hat{y}$$

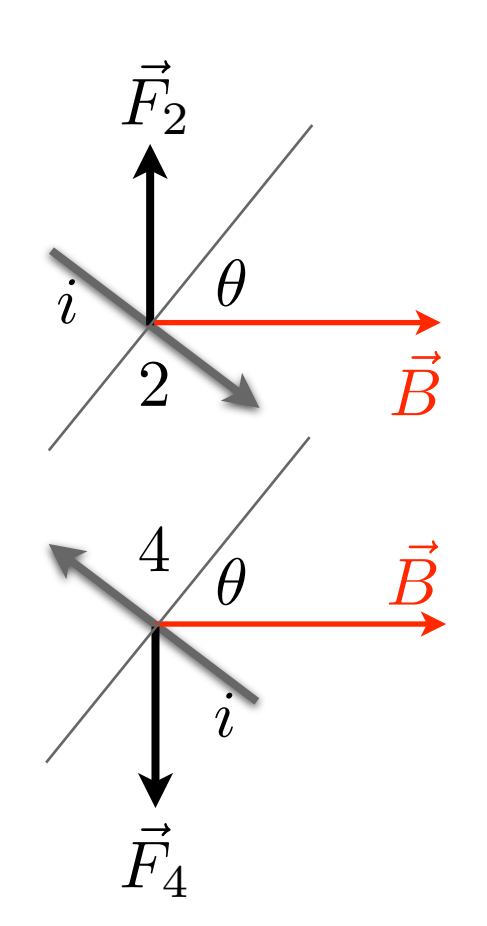
$$mg = F_T = 9iaB \quad \Rightarrow \quad B = \frac{mg}{9ia}$$

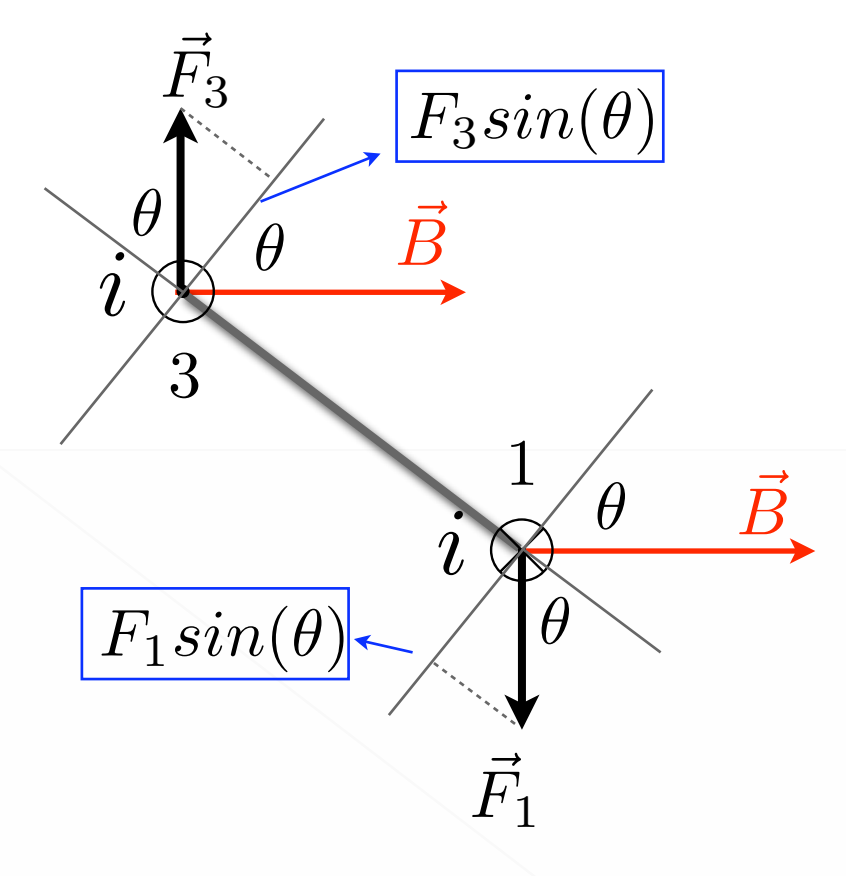
### **GALVANÔMETRO**

Vista de cima









$$F_2 = F_4 = ibBcos(\theta); \ F_1 = F_3 = iaB \ \sum_{i=1,4} \vec{F_i} = 0$$

$$\sum_{i=1,4} \vec{F}_i = 0$$

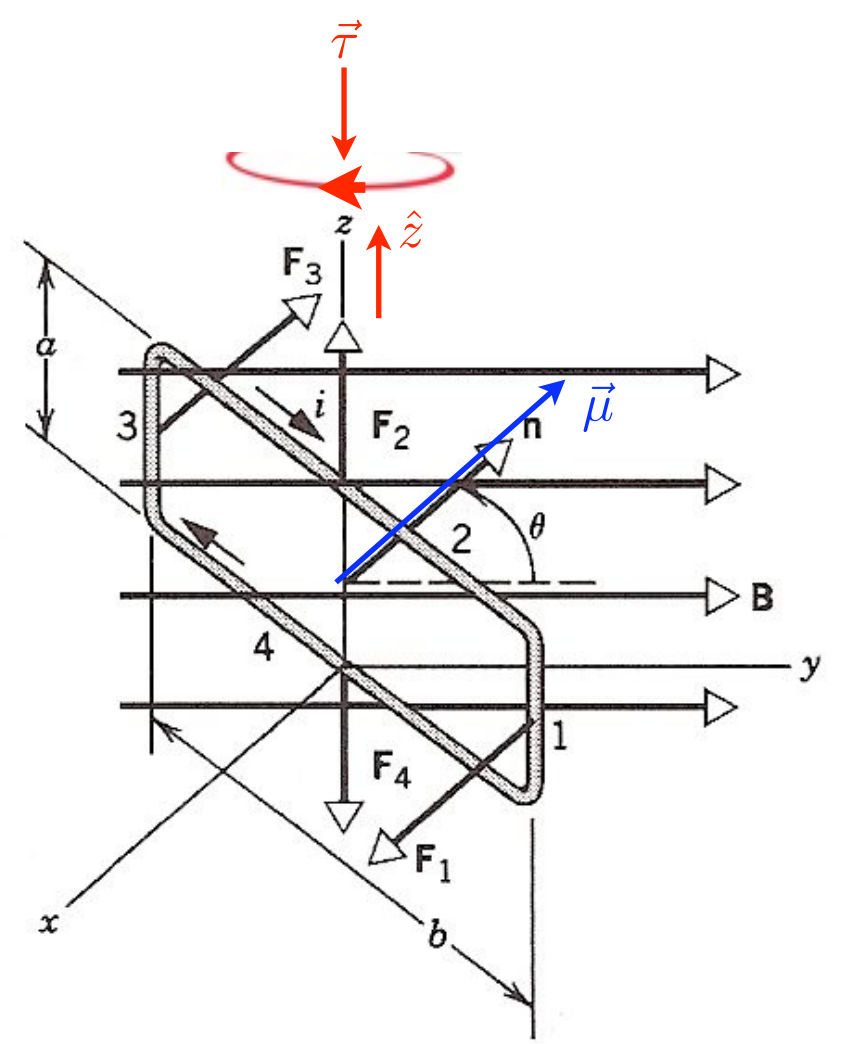
Entretanto,

 $\vec{F}_1$  e  $\vec{F}_3$  causam torque, e a espira gira em torno do eixo z:  $|\vec{\tau}=-iabBsin(\theta)\,\hat{z}|$ 

$$\vec{\tau} = -iabBsin(\theta)\,\hat{z}$$

 $ec{F}_2$  e  $ec{F}_4$  não causam torque.

### **GALVANÔMETRO**



$$\vec{\tau} = -iabBsin(\theta)\,\hat{z}$$

Definindo  $\vec{A} = A\hat{n}$  onde A = ab

$$\vec{\mu} = iA\hat{n} \quad \Rightarrow \quad \vec{\tau} = \vec{\mu} \times \vec{B}$$

 $ec{\mu}$  - momento de dipolo magnético da espira

O torque tende a alinhar o dipolo  $\, \vec{\mu} \,$  na direção do campo  $\, \vec{B} \,$ 

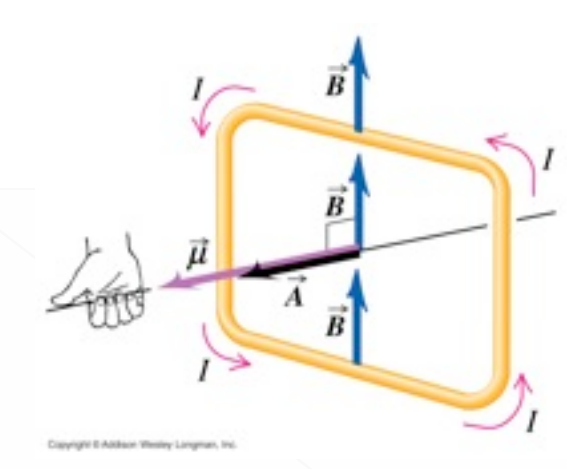
#### ENERGIA POTENCIAL

$$dW = \tau d\theta = \mu B sin(\theta) d\theta$$
$$\Delta U = \int \mu B sin(\theta) d\theta$$

Escolha de origem: 
$$U\left(\frac{\pi}{2}\right) = 0$$

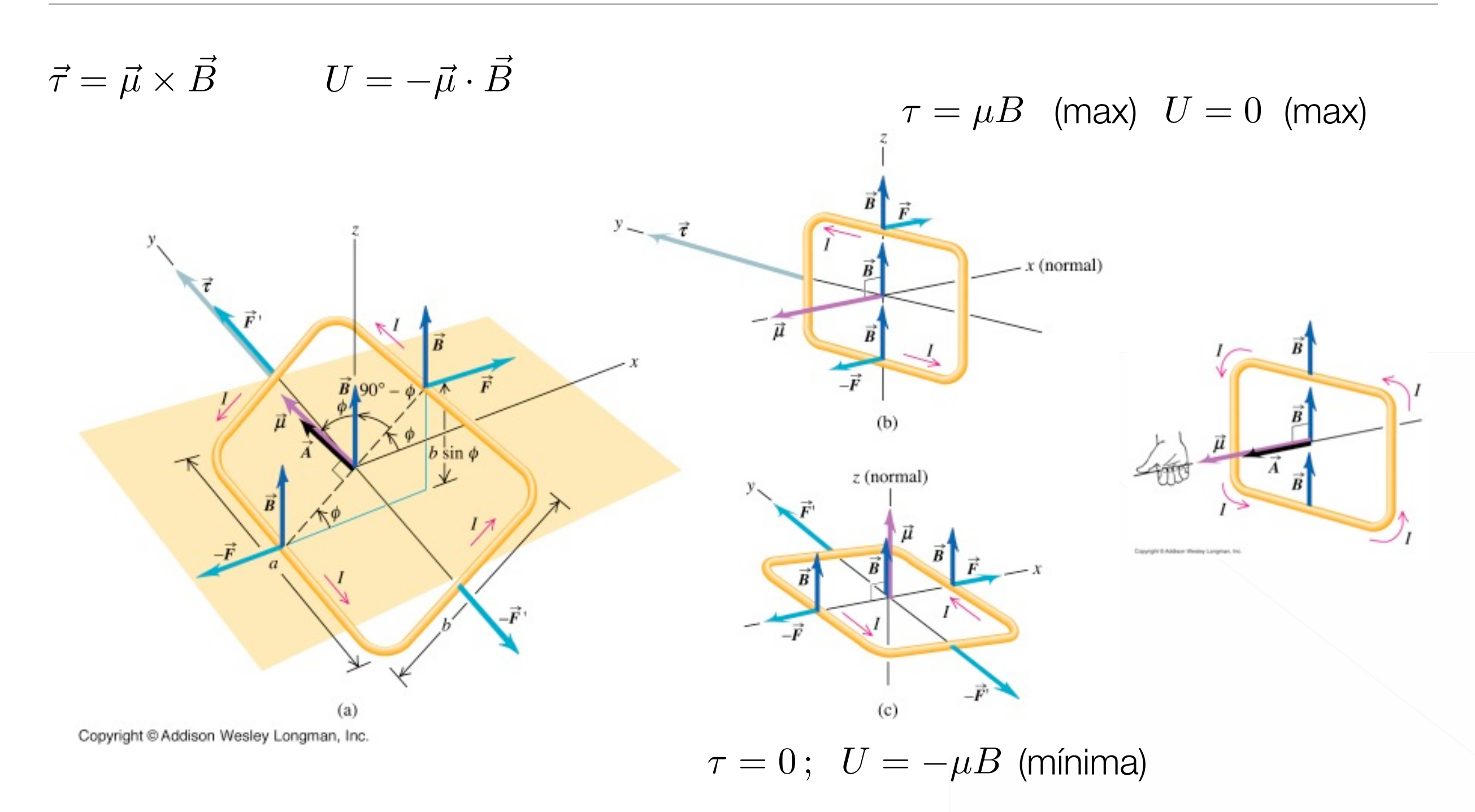
$$U(\theta) - U\left(\frac{\pi}{2}\right) = \int_{\frac{\pi}{2}}^{\theta} \mu B sin(\theta') d\theta' \quad \Rightarrow \quad U(\theta) = -\mu B cos(\theta)$$

$$U = -\vec{\mu} \cdot \vec{B}$$



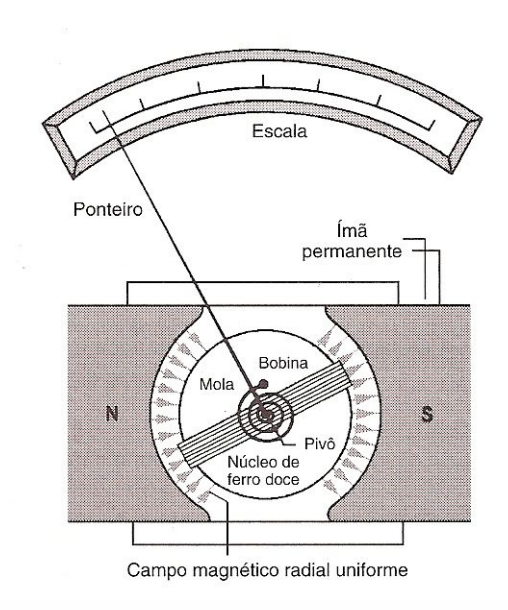
$$U(\theta) = -\mu B cos(\theta)$$

### **GALVANÔMETRO**

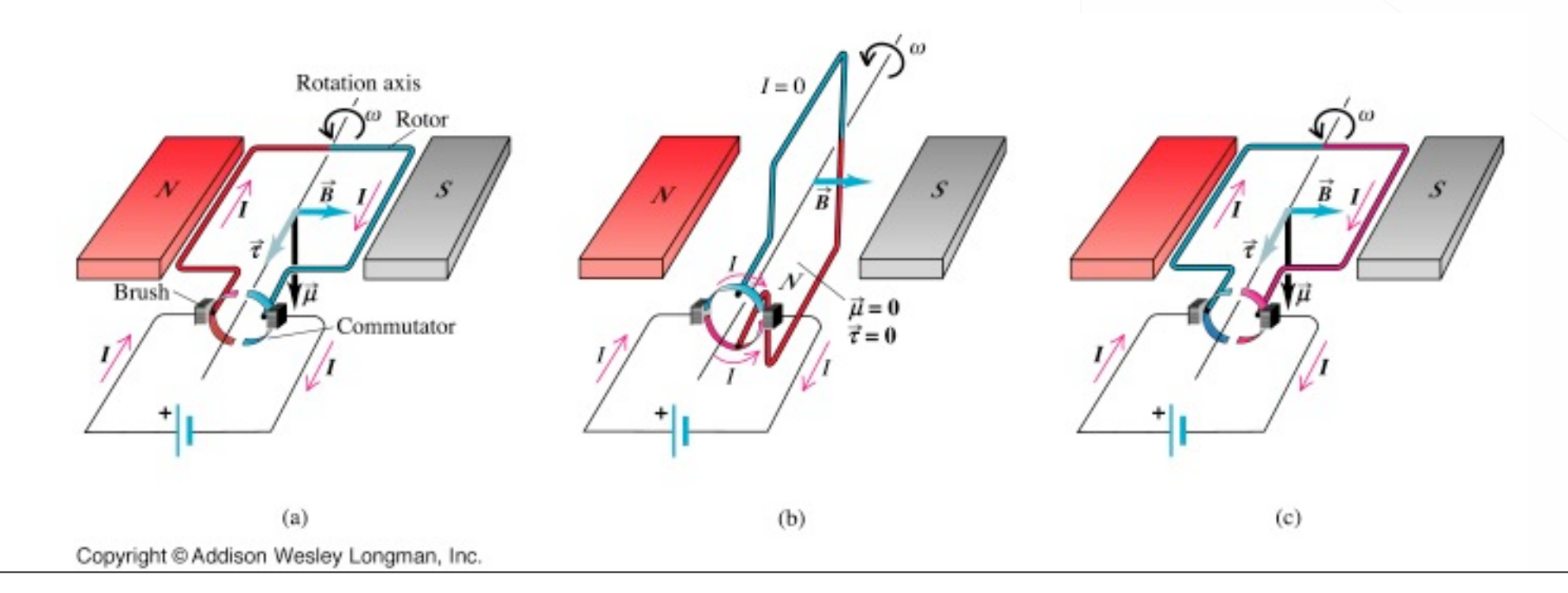


### GALVANÔMETRO E MOTOR ELÉTRICO

Galvanômetro: ao passar corrente na bobina, o torque causado pelo campo magnético gira a bobina e, portanto, o ponteiro.



A direção da corrente deve ser revertida no tempo certo para que ocorra a rotação continuamente na mesma direção

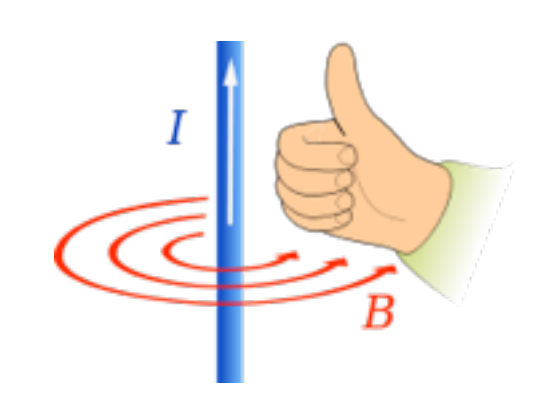


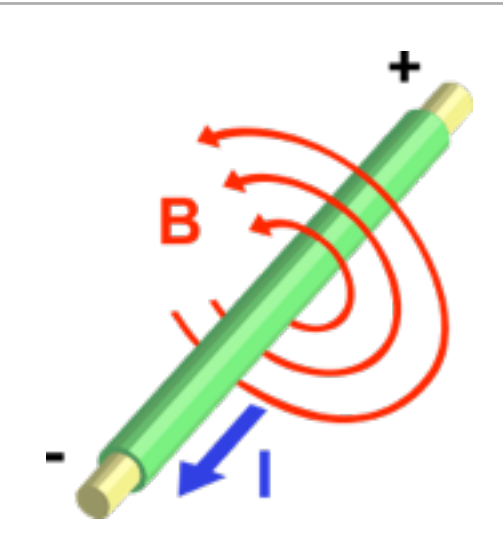
# LEI DE AMPÈRE

Aula # 15

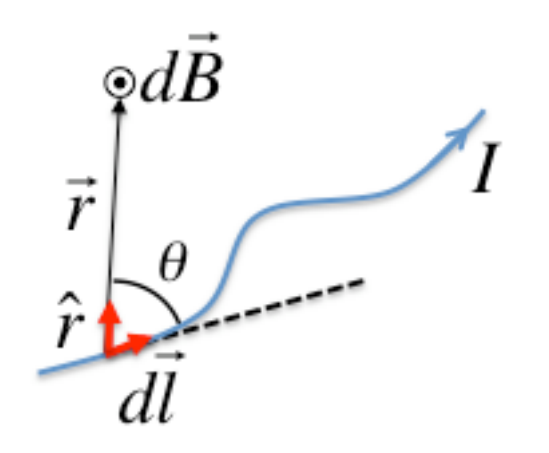
#### **BIOT-SAVART**

Carga em movimento gera campo magnético





 $^{ ext{@}}$  Campo magnético produzido por um elemento de corrente em um ponto  $ec{r}$ 



$$d\vec{B} = \left(\frac{\mu_0}{4\pi}\right) \frac{id\vec{\ell} \times \vec{r}}{r^3} = \left(\frac{\mu_0}{4\pi}\right) \frac{id\ell sin(\theta)}{r^2}$$

$$\mu_0 = 4\pi \times 10^{-7} \, Tm/A$$

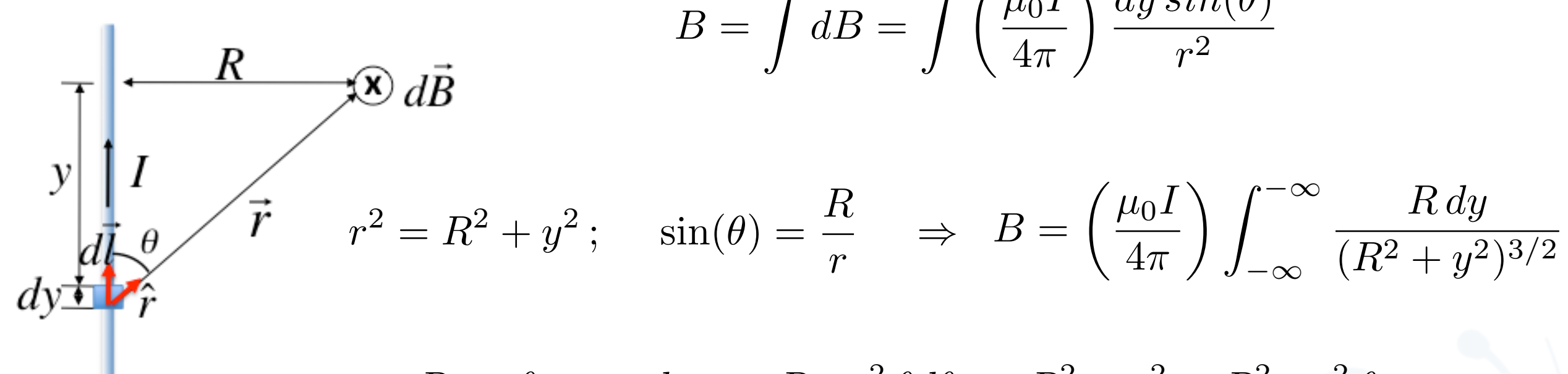
permeabilidade magnética do vácuo

$$\vec{B} = \int d\vec{B} = \left(\frac{\mu_0}{4\pi}\right) \int \frac{id\vec{\ell} \times \vec{r}}{r^3}$$

Soma feita sobre todos os elementos de corrente

### APLICAÇÕES DE BIOT-SAVART

Fio longo retilíneo



$$B = \int dB = \int \left(\frac{\mu_0 I}{4\pi}\right) \frac{dy \sin(\theta)}{r^2}$$

$$\sin(\theta) = \frac{R}{r} \quad \Rightarrow \quad B = \left(\frac{\mu_0 I}{4\pi}\right) \int_{-\infty}^{-\infty} \frac{R \, dy}{(R^2 + y^2)^{3/2}}$$

$$y = R \cot \theta \implies dy = -R \csc^2 \theta d\theta; \quad R^2 + y^2 = R^2 \csc^2 \theta \implies$$

$$B = -\left(\frac{\mu_0 I}{4\pi R}\right) \int \frac{d\theta}{\csc \theta} = -\left(\frac{\mu_0 I}{4\pi R}\right) \int \sin \theta d\theta = \left(\frac{\mu_0 I}{4\pi R}\right) \cos \theta = \left(\frac{\mu_0 I}{4\pi R}\right) \left.\frac{y}{(y^2 + R^2)^{1/2}}\right|_{-\infty}^{+\infty}$$

$$\Rightarrow B = \left(\frac{\mu_0 I}{2\pi R}\right)$$

### APLICAÇÕES DE BIOT-SAVART

Prio finito de comprimento L - Ponto P situado sobre a bissetriz do fio

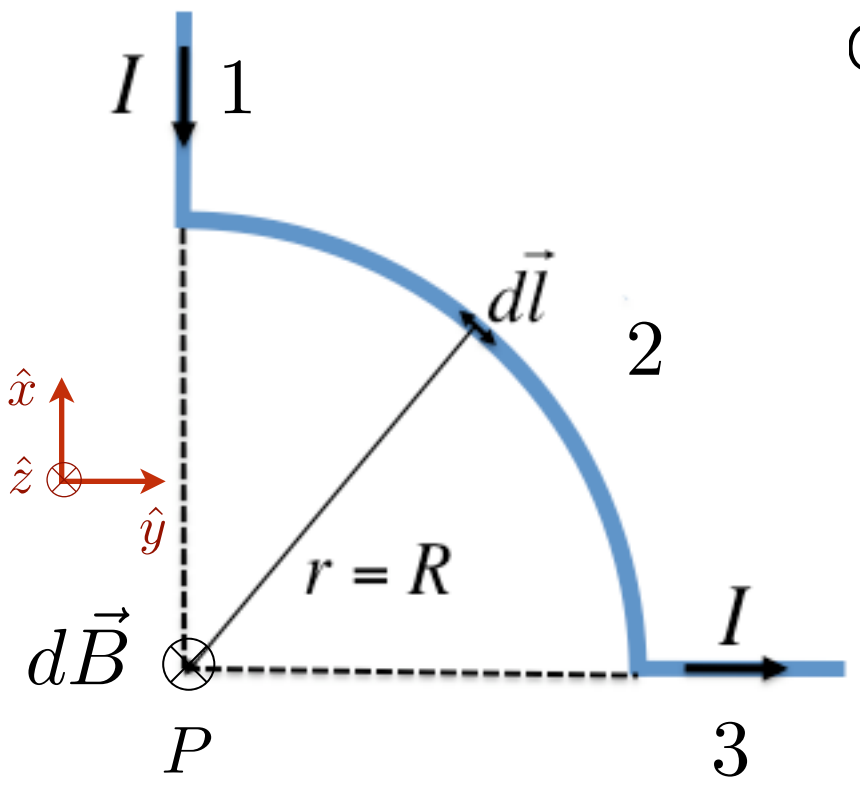
$$\begin{array}{c|c} \hline \uparrow \\ \downarrow \\ \hline \uparrow \\ L/2 \\ \hline \downarrow \\ I \end{array} \longrightarrow \otimes d\vec{B} \qquad B = \left(\frac{\mu_0 I}{4\pi R}\right) \left. \frac{y}{(y^2 + R^2)^{1/2}} \right|_{-L/2}^{+L/2} = \frac{2L}{(L^2 + 4R^2)^{1/2}}$$

Ponto P situado sobre um eixo perpendicular ao fio passando pelo topo do fio

$$\begin{array}{c|c} R \\ \downarrow \\ \downarrow \\ L/2 \\ \downarrow \\ I \end{array}$$
 
$$B = \left( \frac{\mu_0 I}{4\pi R} \right) \left. \frac{y}{(y^2 + R^2)^{1/2}} \right|_{-L}^0 = \frac{L}{(L^2 + R^2)^{1/2}}$$

### APLICAÇÕES DE BIOT-SAVART

Campo B no ponto P



Contribuições devido aos trechos 1e 3 são nulas pois  $d\vec{\ell}$  e  $\vec{r}$  são paralelos:  $d\vec{B}_1 = d\vec{B}_3 = 0 \ (\vec{r} \parallel \vec{B})$ 

$$d\vec{B} = \left(\frac{\mu_0}{4\pi}\right) \frac{id\vec{\ell} \times \vec{r}}{r^3} = \left(\frac{\mu_0}{4\pi}\right) \frac{id\ell sin(\theta)}{r^2}$$

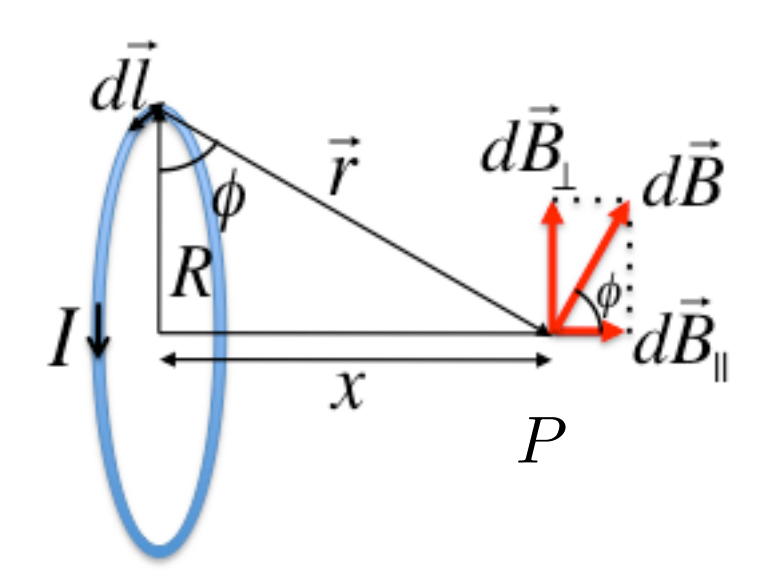
$$d\vec{B}_3 = \left(\frac{\mu_0}{4\pi}\right) \frac{Id\ell}{R^2} \,\hat{z} \,; \quad d\ell = Rd\theta \quad \Rightarrow$$

$$B_3 = \int dB_3 = \int \left(\frac{\mu_0 I}{4\pi}\right) \frac{R d\theta}{R^2} = \left(\frac{\mu_0 I}{4\pi}\right) \frac{\pi/2}{R} = \frac{\mu_0 I}{8R} \implies$$

$$\vec{B} = \vec{B}_1 + \vec{B}_2 + \vec{B}_3 = \frac{\mu_0 I}{8R} \,\hat{z}$$

### APLICAÇÕES DE BIOT-SAVART: ESPIRA CIRCULAR

Campo B no ponto P



$$\vec{B}_{\perp} = \int d\vec{B}_{\perp} = 0$$

$$d\vec{B} = \left(\frac{\mu_0}{4\pi}\right) \frac{id\vec{\ell} \times \vec{r}}{r^3} \quad \Rightarrow \quad dB = \left(\frac{\mu_0}{4\pi}\right) \frac{id\ell \sin \theta}{r^2}$$

$$\vec{d\ell} \perp \vec{r} \Rightarrow dB = \left(\frac{\mu_0}{4\pi}\right) \frac{Id\ell}{r^2}$$

$$dB_{\parallel} = dB\cos\phi; \quad dB_{\perp} = dB\sin\phi$$

$$\cos \phi = \frac{R}{r}; \quad \sin \phi = \frac{x}{R}$$

$$\vec{B}_{\parallel} = \int d\vec{B}_{\parallel} = \int dB_{\parallel} \, \hat{x}$$

$$B_{\parallel} = \int dB_{\parallel} = \int dB \cos \phi = \int \left(\frac{\mu_0}{4\pi}\right) \left(\frac{Id\ell}{r^2}\right) \left(\frac{R}{r}\right) = \left(\frac{\mu_0 IR}{4\pi r^3}\right) \int d\ell = \left(\frac{\mu_0 IR}{4\pi r^3}\right) 2\pi R = \frac{\mu_0 IR^2}{2r^3}$$

$$\vec{B} = \vec{B}_{\parallel} + \vec{B}_{\perp} = \frac{\mu_0 I R^2}{2 (x^2 + R^2)^{3/2}} \hat{x}$$